Statyuahr N3BECTИЯ

АКАДЕМИИ НАУК АРМЯНСКОЙ ССР

Sthubyuuuu арыльфальшьгр исгри СЕРИЯ ТЕХНИЧЕСКИХ НАУК

theyur

ÉPEBAH

Издается с 1947 г.

Журнал выхолит на русском языке 6 раз в гол.

ы быль быты быты быты и

Կաստան Մ. Հարտա, իսքբադիր), Աղոնց Հ. Տ. Հարտա, իսքբադրի տեղակալ) Ալեքսենսկի Վ. Վ., Անանյան Ա. Կ., Զաղոյան Մ. Ա., Հակորյան Ռ. Ե., Սարդսյան Յու Լ., Ստակյան Մ. Դ., Տեշ-Ազարև Ի. Ա., Փինասյան Վ. Վ. Հարտա, իսքբագրի և դրային ատասիսանաստու թարտուղար Ստեփանյան Մ. Ա.

РЕДАКЦИОННАЯ КОЛЛЕГИЯ

Касьян М. В. (ответ, редактор), Адони Г. Т. (элм. ответ редактора), Алексеевский В. В., Ананян А. К., Аколян Р. Е., Задоян М. А., Пинаджян В. В. (элм ответ, редактора), Саркисян Ю. Л., Стакян М. Г., Тер-Азарьев Н. А. Ответственный секретарь Степанян З. К.

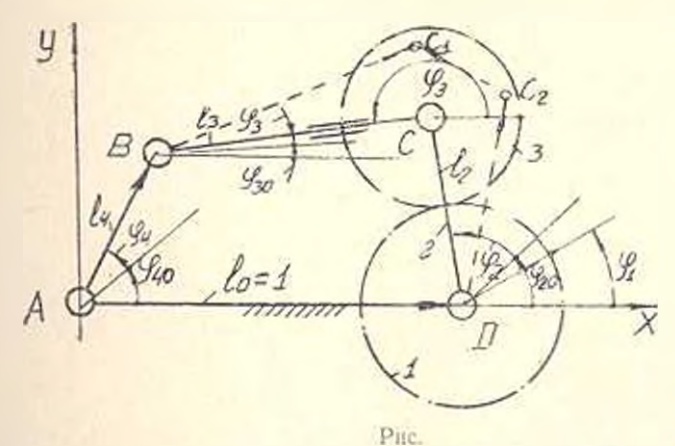
МАШИНОСТРОЕНИЕ

Р. В. АМБАРНУМЯНЦ

ПРОЕКТИРОВАНИЕ ПЯТИЗВЕННОГО ЗУБЧАТО-РЫЧАЖНОГО ГЕНЕРАТОРА ЯВУХ ФУНКЦИЯ

При конструировании размичных механических систем всегда ставится требование о получении минимальных габаритов, веса и др. В таких случаях целесообразно, если это возможно, на один и тот же механизм возложить требование одновременного или последовательного воспроизведения нескольких заданных функциональных зависимостей. Очевидно, такая постановка задачи может быть справедливой для механнамов с числом подвижных звеньев, большим двух

Зубчато-рычажные механизмы, как правило, проектируются как генераторы одной функции [1, 2]. Однако они в силу особой структуры и свойств выгодно отличаются от других механизмов [3]. Инже рассматриваются попросы проектирования интизвенного зубчато-рычажного механизма (рис.), как генератора двух функций-



Пусть заданы функциональные зависимости хіди, то и гребуется их одновременное воспроизведение на заданном интервале изменения аргумента х с помощью рассматриваемого механизма.

Выявим внутренние связи между углами поворота его звеньев. Поскольку кинематическая цепь 1-2-3 (пис.) является дифференциальным механизмом, для нее справедливо равенство

$$\varphi_3 = \varphi_1 u_{33}^2 + \varphi_2 u_{33}, \tag{1}$$

где q_i — угловия скорость *i*-ого звена (i = 1, 2, 3): — передаточное отношение между звеньями и, в при услояно неподвижном звене x (a = 3, b = 1.2, c = 2.1).

Проянтегрировав выражение (1) при начальных условиях $\phi_{\rm s}=0$, $\phi_{\rm s}=\phi_{\rm s}=0$, получим

$$\varphi_{3} = \varphi_{1}u_{31} + \varphi_{2}u_{32} \tag{2}$$

Предположим, что входным звеном механизма является первое и углы его поворота пропорциональны значению аргумента х, а выходными — второе, четвертое звенья и их углы поворота пропорциональны, соответственно, значениям функций у, z. Определив значения коэффициентов пропорциональности между ними, найдем зависимости $z_1 f_1 z_4$ и . Тогда

$$\varphi_3 = u_{31}^2 [f_1^{-1}(\varphi_3)] + u_{31}[f_1^{-1}(\varphi_3)]$$
 (3)

т. е. заданные функции x₁.g. x₁.z воспроизводятся пятизвенным зубчаторычажным механизмом, если положения его звеньев у повлетворяют равенству (3). Выражение (3) показыцает, что проектирование пятизвенного зубчато-рычажного механизма, как генератора двух функций, осуществимо независимо от выбора входного звена. Поскольку выражение (3) обеспечивается при соответствующих положениях звеньев шарпирного четырехзвенника, то проектирование пятизвенного зубчаторычажного генератора двух функций приводится к проектированию шаринрного четырехзвенника с заданными положениями всех его звеньев.

Определение неизвестных параметров шарипрного четырехзвениика можно осуществить с применением алгебры комплексной переменной [4], и при заданных трех положениях механизма необходимо решить матричное равенство

$$A [l_2 l_3 l_4]^t = [[-1, 1]^t, \tag{4}$$

где

$$A = [e^{in}] - квадратная матрица третьего порядка $(j = 2, 3, 4)$.$$

Однако использование алгебры комплексной переменной при вычислении параметров схемы механизма позволяет задаваться максимум четырьмя положениями его звеньев.

Представим решение задачи с применением алгебры действительной переменной, что позволяет увеличить число вычисляемых параметров. Расчленим в шариире C (рис.) механизм в две открытые кинематические цепи и соединим их между собой фиктивным звеном C_iC_i . Приписывая звеньям полученного шариирного пятизвенника свейства векторов, запишем

$$\overline{I}_4 + \overline{I}_2 - \overline{I}_2 - 1 = \overline{\lambda}_q$$
 (5)

гле л. — длина фиктивного звена.

Используя известное свойство преобразованного механизма [4], возведя векторное уравнение (5) в квадрат, для взвешенной разности получим

$$\Delta_{q} = 2 \left[\frac{1}{2} \left(l_{1}^{2} + l_{3}^{2} + l_{2} + 1 - l_{1}^{2} \right) + l_{4} l_{3} \cos \left(\varphi_{4} + \varphi_{40} - \varphi_{3} - \varphi_{30} \right) - \right. \\ \left. - l_{2} l_{4} \cos \left(\varphi_{4} + \varphi_{20} - \varphi_{4} - \varphi_{40} \right) - l_{4} \cos \left(\varphi_{4} + \varphi_{40} \right) - \right. \\ \left. - l_{3} l_{2} \cos \left(\varphi_{2} + \varphi_{20} - \varphi_{3} - \varphi_{30} \right) - l_{3} \cos \left(\varphi_{3} + \varphi_{30} \right) - \right. \\ \left. + l_{2} \cos \left(\varphi_{2} + \varphi_{20} \right) \right].$$
 (6)

Для вычисления трех параметров схемы механизма выражение (6) можно представить в виде полинома

$$\Delta_{\phi} = 2 \Sigma P_{\epsilon} f_{\epsilon}(x_{\epsilon})_{\epsilon} \qquad (7)$$

где

При решении системы (7) необходимо обеспечить дополнительное условие — значение λ^2 должно быть очень маленькое число*. Наилучшее решение получится при $\lambda=0$. Для определения значения коэффициентов P_i , при которых $\lambda=0$, систему (7) необходимо решить в следующей последовательности. Исключив неизвестное P_i в предположении, что значение одного из неизвестных коэффициентов P_i известно, получим квадратное уравнение относительно оставшихся неизвестных. Тогая можно найти зависимости, например, $P_i = f_i(P_i)$, $P_i = f_i(P_i)$, $P_i = f_i(P_i)$, а затем — зависимость $\lambda^2 = \lambda_i(P_i)$.

Значения P_{s_0} при которых функция $\lambda^2 = \lambda$ (P_{s_0}) обращается в нуль. будут искомыми решениями системы (7). Поскольку функция $\lambda^2 = \lambda(P_s)$ является неявной, то ее следует исследовать численными мети тами. В случае непересечения $\lambda^2 = \lambda(P_s)$ с осько значения P_{s_0} следует выбрать новые значения начальных углов q_{s_0} , q_{s_0} . Если же исследуемая функция $\lambda^2 = \lambda(P_s)$ пересекается с осью значений P_s в нескольких точках, то окончательный выбор величины P_s следует произвести после расчета значений остальных коэффициентов системы (7) и точности воспроизведения заданных функции. Аналогичным образом можно составить полицомы для вычисления четырех и пяти параметров схемы механизма.

В прамтических расчетах достаточно, чтобы значение \(\lambda \) входные в поле допуска размеров элементов кинематических пар_

Пример. Вычислить параметры пятизвенного зубчато-рычажного генератора при заданных функциях $y=e^x$ и $z=\ln x$ в пределах угла новорота входного звена $O=q_1=60^\circ=q_2$ и изменения аргумента 1=x=2.

Задаемся углами поворота выходных звеньев, соответствующими интервалу приближения $\phi_{0n}=20^\circ,\ q_{-n}=30^\circ,\ и$ передаточным отношением $u_{31}^*=-1$. Согдаено заданным начальным условиям находим

$$x = 1 - \frac{1}{60} \varphi_1; \quad \varphi_2 = 11,6389 \ (e^{\frac{1}{60}} - 1) = -43,2807 \ \ln \left(1 + \frac{1}{60} \varphi_1 \right) = 99,6678 \ \lg \left(1 + \frac{1}{60} \varphi_1 \right).$$

Выбранные узлы интернолирования и значения приращения углов поворота звеньев шаринрного четырехзвенника представлены в табл.

Углы Углы	71	43	Τí	71
1	0	0	0	0
11	30	—14 55°	17°33°	7 32.
111	60	—20°	30°	20°

В результате расчета получены следующие значения параметров схемы механизма: $l_* = 0.854649$; $l_* = 0.710862$; $l_* = 0.632583$; $\phi_{*o} = 9°55'$; $\phi_{*o} = 17°26'$; $\phi_{*o} = 34°20'$.

Определение точности воспроизводимых функций можно осуществить следующим образом.

После вычисления геометрических размеров шариприого четырехзвенника легко пайти функциональные зависимости $x_3 = x_4$ $\varphi_4 = x_4$ (7) На основании (2) имеем $\varphi_2(x_2) = x_1u_{3,1} + x_4v_4$

Решив последнее уравнение относительно φ_2 , находим φ_2 а затем — $\varphi_1(\varphi_2(\varphi_1))$. Точности воспроизведения функциональных зависимостей можно оценить по разностям $\Delta \varphi_2 = \varphi_2(\varphi_1) - \mu_y y$, $\Delta \varphi_4 = \varphi_4(\varphi_2(\varphi_1)) - \mu_y - \kappa_0 = 0$ где $\mu_2 - \kappa_0 = 0$ пропорциональности между углами φ_2 , φ_3 и заданными функциями y, z.

Аналогичным образом можно определить точность воспроизведения функций при других выходных звеньях.

Укажем косвенный метод, объединяющий вопросы точности воспронзведения функций. Предположим, что четвертое или иторое звено абсолютно точно воспроизводит одну из заданных функций. Тогда легко определить зависимости $\varphi_2=\varphi_1(\varphi_4), \; \varphi_3=\varphi_1(\varphi_4)$ (или $\varphi_3=\varphi_1(\varphi_2), \; \varphi_4=\varphi_1(\varphi_2)$) и с помощью выражения (2), с учетом другой заданной функции, действительное значение угла поворота φ_1 звена 1. В таком случае разность $\Delta \varphi_1=\varphi_{1T}-\varphi_{11}$ между действительным и теоретическим значениями угла поворота звена 1 может дать оценку точности воспроизведения функций одновременно.

Для представленного примера оценку точности воспроизведения функций целесообразко вести косвенным метолом, т. к. прямой метод приводит к решению тригонометрического уравнения четвертой степени. Максимальная погрешность положения входного звена и аргумента x в предположения, что четвертое звено точно воспроизводит заданную функциональную зависимость, составляет $\Delta q_4 = \pm 0.02325$ рад. $\Delta x = 0.02325$.

Отметим, что выражение (3) позволяет осуществить также просктирование изтизвенного зубчато-рычажного генератора одной функции. Например, если заданизя функция пропорциональна отношению $\phi_i f_i \phi_i$, проектирование рассматриваемого механизма приводится к решению [2], а в случае задания функции положения $\phi_i f_i \phi_i$ или $\phi_i f_i \phi_i - \kappa$ решению [5].

Олексияй технолог инст. вип. М. М. М. Моди. ини. весопромого. В. М. М. Моди.

Поступило 10.ХП.1978

o. d. Laurencearrishas

ԵՐԿՈՒ ՖՈՒԵԿՑԻԱՆԵՐԻ ՀՆԳՕՂԱԿ ԱՏԱՄՆԱ-ԼԾԱԿԱՎՈՐ ԳԵՆԵՐԱՏՈՐԻ ՆԱԽԱԳԾՈՒՄԸ

Uldunianid

Դիտարկված է Հեղօղակ ատամետ-լծակավոր մեխանիզմի սինքնզման ընդՀանուր խնդիրը։ Ասլացուցված է, որ նրա նախագծումը բերվում է բառշ-ղակ հողակապային մեխանիզմի նախագծմանը, երբ տրված են վերջինիս բոլոր օղակների դիրբերը։ Սինքնդման համար ստացված հավասարումները քույլ են տալիս երկու ֆունկցիաների միաժամանակ վերարտադրման հնարավորությունը դիտարկվող մեխանիցմում։

Լոզարի<mark>իժական և</mark> ցուցչային ֆունկցիաների վերարտադրման հաժար բերվ<mark>ա</mark>ն է ի<mark>վային օրի</mark>նակ։

ЛИГЕРАТУРА

- Эрдман А., Сандор И. Кинематический синтез пяти шенного эубчато-рычажного механизма. Тр. Амер. Общ. инж.-мех. «Конструпрование и технология машиносхроения», сер. Б. 1971. № 1
- Амбарицыями Р. В. К синтезу передаточного пятизвенного аубчато-рычаж что механизма «Известия иузов. Машинострующие», 1975, № 6.
- 3. Левитский Н. И. Современные задачи проектирования зубчато-рычажных механизмов Сб. «Теория и применение губчато-рычажных механизмов» М., Паука». 1974.
- Артоболевский И. И., Левитский И. И., Черкудинов С. А. Синтез плоских механизчов М., Физматгиз, 1959.
- 5. G. N. Sandor, R. E. Kaufman Kinematik stathesis of Geared Linkages, Int. Mechanisms, vol. 5, Pergamon Press. 1970, Printed in Great Britain.

Տեխնիկական դիտութ սեշիա

XXXII, № 6, 1979 Серия технических наук

СТРОИТЕЛЬНАЯ МЕХАНИКА

A. O. CAAKSHI, JO. X. FA3APSHI

МЕТОДИКА РАСЧЕТА МНОГОЭТАЖНЫХ ЗДАНИЙ С ЯДРАМИ ЖЕСТКОСТИ И ДЕМПФЕРНЫМИ УСТРОЙСТВАМИ НА ГОРИ-ЗОНТАЛЬНЫЕ ДИПАМИЧЕСКИЕ ВОЗДЕПСТВИЯ

В практике современного строительства инпрокое распростравение получают многоэтажные здания с ядрами жесткости. С целью повышения их сейсмостойкости были предложены демифорные устройства, устанавливаемые между каркасом и ядром жесткости [1]: Имея в виду неизученность поведения таких систем, были проведены комплексные исследования [2, 3].

В статье излагается методика расчета многоэтажных зданий с ядрами жесткости и демиферными устройствами при гармонических и сейсмических воздействиях, апробированная проведенными авторами экспериментальными исследованиями. В соответствии с принятой расчетной схемой здания (рис. 1) с учетом сил внутреннего сопротивления

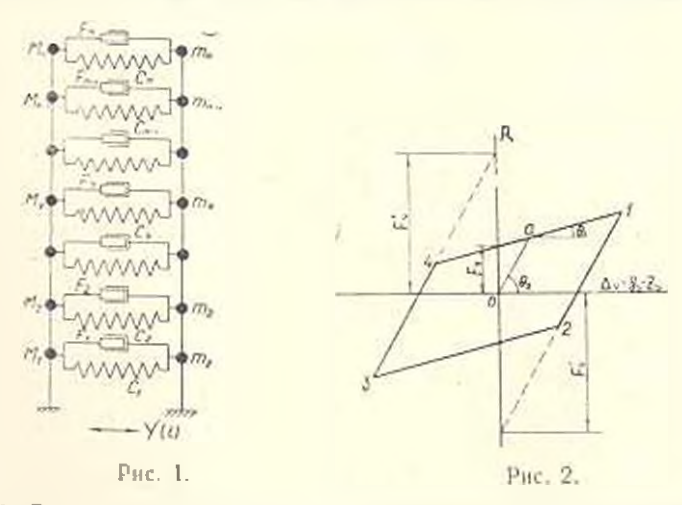


Рис. 1. Расчетноя модель многоэтажного здания с упруго-демифершыми устройствами между каркасом и варом жесткости при горизонтальных динамических воздействиях.

Рис. 2 Петля гистерезиса системы упруго-демиферных устройсти сухого трения с показанием расчетных параметров.

каркаса и ядра жесткости, а также реакции демиферов сухого грения, работу которых можно аппроксимировать в виде билинейной диаграммы (рис. 2), движение системы при сейсмическом воздействии можно описать следующими дифференциальными урависниями:

$$\begin{cases} m_{x}y_{x} + \sum_{i=1}^{n} r_{xi}y_{x} + P = -m_{x}y_{0}, \\ M_{x}z_{x} + \sum_{i=1}^{n} w_{i}M_{x}z_{x} + \sum_{i=1}^{n} R_{xi}z_{x} - P_{x} = -M_{x}y_{0}, \\ (1)^{n} \end{cases}$$

где m, M—соответственно, сосредоточенные массы ядра жесткости у-го этажа; z_{ij} , R_{ij} упругие реакции каркаса и ядра жесткости; у, и 2 прогибы каркаса и ядра жесткости на уровне у-го этажа; коэффициент неупругого сопротивления многоэтажного здания без демиферных устройств при t-ом тоне колебаний: u_t —собственная круговая частота t-го тона колебаний здания с демиферными устройствами; y_0 — ускорение основания здания.

В соответствии с рис. 2 реакция демпферов P_{\star} при различных эталах циклического воздействия нагрузки можно представить следующими аналитическими выраженнями:

$$P = \begin{cases} C_{+}(y, -z_{+}) & = \text{на участке } 0 - a; \\ C_{+}(y, -z_{+}) + F_{+} & = \text{на участке } a - 1; \\ C_{+}(y_{+} - z_{+}) + F_{-} & = \text{на участке } 1 - 2; \\ C_{-}(y_{+} - z_{+}) + F_{-} & = \text{на участке } 2 - 3; \\ C_{+}^{*}(y_{+} - z_{+}) + F_{-}^{*} & = \text{на участке } 3 - 4, \end{cases}$$

где $C_* = \lg \theta_1, \ C_* = \lg \theta_*$ жесткости системы демиферов у-го этажа для различных участков нагружения и разгрузки: F , F силы сухого трешия на участках, показанных на рис. 2.

С учетом следующих обозначений!

$$z = \omega_k t = \frac{2\omega}{\pi} t; \quad y_* = t_*; \quad y_* = \omega_k U_*; \quad \ddot{y}_* = \omega_k^* U_*;$$

$$z = V_*; \quad z = \omega_k V_*; \quad z_* = \omega_k^* V_*;$$

$$u = \frac{M}{m}; \quad \alpha_* = \frac{C_*}{m\omega_k^2}; \quad \omega_k = \frac{1}{H} \sqrt{\frac{C_* I}{m}};$$

$$z_*' = \frac{C_*'}{m\omega_k^2}; \quad \lambda_* = U_* - V_*$$
(3):

и после несложного преобразования система дифференциальных уравнений (1) и выражение (2) примут вид:

$$| \ddot{U}_{\gamma} + \gamma_{I} \gamma_{I} \dot{U}_{\gamma} - n \sum_{i=1}^{n} r_{\gamma j}^{0} U_{j \gamma j} P | = - \bar{y}_{0};$$

$$| \ddot{V}_{\gamma} + \gamma_{I} \gamma_{I} \dot{V}_{\gamma} + \frac{6 n^{4}}{r^{2} \mu_{\gamma}} \sum_{j=1}^{n} R_{ij}^{n} V_{j} = \frac{1}{\mu_{\gamma}} \bar{P}_{i} = - \bar{y}_{0};$$

$$(4)$$

$$\bar{P}_{i} = \frac{1}{2} \left[\left[1 + (-1)^{n_{i}} \right] + \left[1 - (-1)^{i} \right] + \left[1 - (-1)^{i} \right] + \dots - (n_{i} - n_{i}) + \dots - (n_{i} - n_{i})$$

Здесь k, показывает номер узловой точки на петле гистерезиса, соответствующей у-му ярусу, и последовательно принимает значения $k_1 = -1$, 0, 1, 2, 3, · · · ($s = 1, 2, \cdots, n$).

Прогибы ялра жесткости и каркаса определяются лутем решения системы дифференциальных уравнении (4) при начальных условиях

$$U.(0) = \dot{U}.(0) = V.(0) = V.(0) = 0 \quad (v = 1, 2, ..., n).$$
 (6)

Особенностью системы дифференциальных уравнений (4) является то, что содержащиеся в нем члены $P_{-}(v=1,2,...,n)$, являющиеся приведенными реакциями демиферов сухого трения, изменяют свои значения, связанные с работой системы на различных участках гастерезисной петли, и имеют вид, приведенным в (5).

Отметим, что система лифференциальных уравнений (4) содержит кусочно-линейные функции P— переменные во времени и учитывающие работу поэтажий установленных демпферов в различных фазах.

Для реализации этой, изменяющейся по времени, сравнительно сложной системы дифференциальных ураянений (4) была применена ЭВМ (БЭСМ-6) с использованием численного метода Рунге-Кутта.

Просктные разработки с проведением расчетно-теоретических исследований, применительно к 12-этажным зданиям типа «спаренный трилистник» с темпферными устройствами показали, что полученные разрешающие уразнения (4) можно существению упростить, имея в виду, что масса ядра жесткости мала по сравнению с массой всего здания. При игнорировании массы ядра жесткости взамен опстемы уравнений (4), содержащих 2n дифференциальных уравнений второго порядка, получаем и уравнений того же порядка (n число этажей здания).

Система лифференциальных уравнений (4) при $\mu=0$ примет вид:

$$\ddot{U}_{1} + \gamma_{1} \eta_{1} U_{2} + n^{2} \sum_{j=1}^{n} U_{j} + \bar{P}_{1} = -y_{0};$$

$$\frac{6n}{2} \sum_{j=1}^{n} R_{j} V_{j} = \bar{P}_{2}.$$
(7)

Обозначая для сокращения записи через

$$T_{k_{i}} = \frac{1}{2} \{ [1 + (-1)^{k_{i}}] \circ - [1 - (-1)^{k_{i}}] \circ . ,$$

$$E_{k_{i}} = (a_{i} - a_{i}) \sum_{i=1}^{k_{i}-1} (-1)^{i_{i}} \Delta^{(i_{i})},$$
(8)

выражение Р входящее в (7), в силу (5) будет иметь вид:

$$\bar{P} = T_{k_s} \Delta_r + E_{k_s}. \tag{9}$$

Подставляя это значение во второе уравнение системы (7), получим:

$$\frac{6a!}{n!} \sum_{i} K_{ij} V_{i} = T_{k_i} \Delta_{i} + E_{k_i}. \tag{10}$$

Имея ввиду, что $\Delta = U_* + V_*$, выражение (10) после преобразования примет вид:

$$\sum_{j=1}^{n} \left(\frac{6n^4}{i^2} R_{ij}^2 + \pm T_{ij} \hat{x}_{ij} \right) V_j = T_{k_i} U_i \pm E_{k_i}$$
 (11)

Вводя обозначения

$$\frac{6n^4}{2} \, \, \phi^0 = T_+ \, s_+ = G_{-1}$$

из уравнения (11) находим прогибы ядра жесткости

$$V_j = \sum_{i=1}^{n} A_{i,j} (T_{d_i} U_i + E_{k_i}) (j = 1, 2, \dots, n),$$
 (12)

где A , являются элементами обратной матрицы $\{G_i\}^{-1}$.

Систему уравнений (7) в гилу принятых выше обозначений можно представить в виде:

$$U + r = U + n^2 \sum_{j=1}^{n} r^0_{j} U_j + \frac{6n^2}{\lambda^2} \sum_{j=1}^{n} R^{(i)} V_j = -y, \quad (\forall i=1, 2, \dots, n). \quad (13)$$

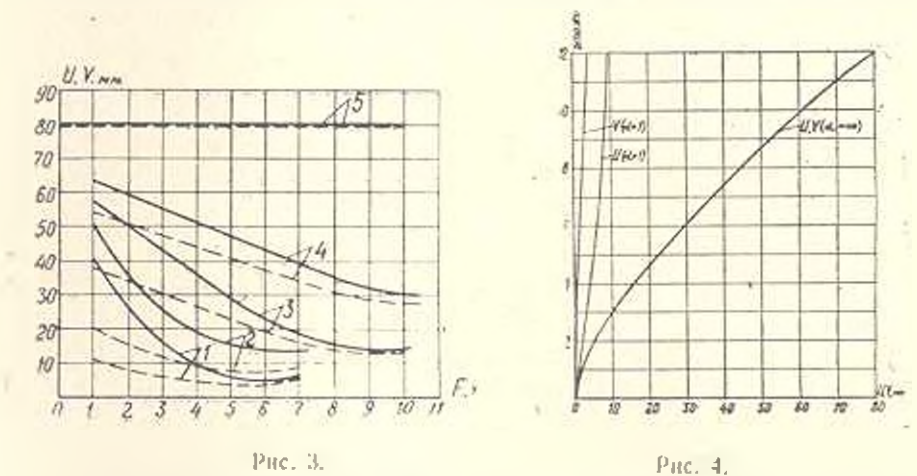
Таким образом, задача определения прогибов каркаса U_{\perp} и ядражесткости V_{\perp} на уровне у-го этажа сводится к решению системы дифференциальных уравнений (13) при начальных условиях (6) с учетом выражений (8) и (12).

В качестве примера практического примскения разработациой методики приводятся результаты расчета 12-этажного здания с демиферными устройствами на гармонические и сейсмические воздействия. В расчете использованы опытные значения динамических характсристик, полученные при испытании 12-этажных зданий в натуре при жестком соединении каркаса и ядра жесткости. Жесткости а, силы сухого трения F и системы демиферов на уровне всех этажей приняты одинаковыми. В случае расчета здания на гармонические воздействия предиолагается, что возмущающая сила приложена на уровне верха здания и по характеру действия идентична силе, развиваемой вибромашниой инершионного действия. Расчеты производились для первых трех тонов колебаний здания. Параметр а, характеризующий жесткость системы демпферных устройств, варьировался в пределах от 0,5 \div 200, а F, ха-

рактеризующий величину силы сухого трения системы демиферов. в пределах от $1\div 50~\tau$.

На рис. З привелены амялитуды верхнего конца каркаса и ядра жесткости при установившихся колебаниях (основной тои) 12-этажного здания. Анализ кривых свидетельствует о высокой эффективности системы демиферных устройств сухого трения и отношения резкого уменьшения амилитул при резонансных колебаниях каркасных зданий с ядром жесткости. С увеличением значения F амилитулы колебания каркаса и ядра жесткости в началс убывают, а затем, с некоторого значения F ови резко возрастают и в пределе достигают величии, сеответствующих жесткому соединению каркаса с ядром жесткости. Следовательно, для всех конечных значений α кривые имеют точки экстремума. Оптимальное значение силы сухого трения F падает с уменьшением величины α .

Аналогичная картина наблюдается при высликх формах колебаний, Расчетные прогибы каркаса и ядра жесткости по высоте здания при установившихся гармонических колебаниях и оптимальных значениях параметров демиферных устроистя, а также для случая жесткого соединения каркаса и ядра, приведены на рис. 4. По этим кривым вид-



Рвс. 3. Амилитулы колебаний верхнего конца каркаса U (сплошная линия) и ядра жесткости 1 (штрих-ликия) 12-этажного здания при гармонических воздействиях (основной той колебаний) в зависимости от силы сухого гревия системы демиферов при значениях коэффициентом

1 - α 00. 2 - α 1. 3 - α - 3; 1 - α 6; 5 - α - ∞ Рис. 4. Расчетные прогибы каркаса U и вдра жесткости 1 12-глажного здания при установившихся гармонических колебаниях (основной тол) с демифериыми устройствами при значениях параметроя Q = 10.6 % 2. α 1. γ = 0.04, F - 5.3 τ 1 при жестком соединении (α - ∞)

но, что при жестком соединения каркаса и ядра жесткости амилитуда резонансных колебаний основного тона 12-этажного здания составляет 80 мля а при применения системы демиферных устройств с выбранными оптимальными параметрами амплитуда колебаний каркаса и ядра жесткости ранны, соответственно, U=13 мли V=7.5 мли $(\alpha=1)$.

Расчет 12-этажного здания с демиферными устройствами был проведен также при различных акселерограммах землетрисений с целью выявления влияния демиферов на поведение зданий данной конструктивной системы.

В таблице приводятся значения максимальных амплитуд колебаний 12-этажного здания на уровие верха как при наличия и отсутствии демиферных устройств, так и при различных сейсмических воздействиях.

Тэблица Значение миксимальных амилитуд сейсмических колебаний 12-этажного длания на уровие верхнего этажа при з 1, 2, 10, г. 2, F., 3,75 m

Типы	Преобладающие перно-	Здание стои о срадо о стои и и и и и и и и и и и и и и и и и и	с демпфером Ампантуда колебания		Здание без деми- фера (жесткое сое- динение)	
акселерограмы			каркаса U, лем	ядра жест- кости V.	пернод первого тона колеба- поя, сек	ампляту- да коле- бания И, V, м.ч
36-7-Я (Япония, 14.П.1956) 15-7-А (Америка, 22. 1X.	0,8	0,85	52,5	17	0,72	53
1952)	0,35		27	13	_	144

Анализ приведенных данных показывает, что при сейсмических воздействиях демиферные устройства существенно уменьшвют амплитуды колебаний ядра жесткости.

Что же касается каркаса, не способного в данной конструктивной системе здания к восприятию значительной сейсмической нагрузки, его горизонтальные перемещения при наличии демиферных устройсти получаются примерно такими же, как и при жестком соединении его с ядром жесткости.

ПЭКТП

Поступило 11.Х.1979

u. o. buzuhana, s. a. gugurana

ԿՈՇՏՈՒԹՅԱՆ ՄԻՋՈՒԿՈՎ ԵՎ ՄԱՐԻՉ ՍԱՐՔԵՐՈՎ ԲԱՔԶՐԱՀԱՐԿ ՇԵՆՔԵՐԻ ՀԱՇՎԱՐԿԸ ՀՈՐԻՂՈՆԱԿԱՆ ԴԻՆԱՄԻԿ ԱՋԴԵՑՈՒԹՅԱՆ ՏԱԿ

Udhndhnid

Աշխատանթում չարադրվում է կոչտության միջուկով և մարիչ սարջևսով բարձրանարկ շենբերի քաշվարկային մեկողը նարժոնիկ և սեյսմիկ ազգեցության դեպբերում։ Շենթի հաշվարկային ոիւեմային համապատասխան կազմված է սևյսմիկ տատանուժների դիֆֆերենցիալ հավասարուժների համակարգը, որտեղ հաշմի է առնված հիմնակմախթի և կոշտության միջուկի ներքին ուժերի դիմադրությունը, ինչպես նաև չոր չփմամբ աշխատող մարիչների հակազդումը, որոնց աշխատանքը մոտարկված է հրկդծային դրագրամի ձևով։

Դիֆֆերևնցիալ Տավասարումների Տամակարգի լուծումը իրացված է БЭСМ-6 տիպի ՀՀՄ-ի վրա, Ռունգե-Կուտի իվային հղանակի միջոցով։

Ստացված արդյունքների վերլուծմամբ ցույց է տրված մարիչ սարբերի օղտադործման բարձր էֆեկաիվությունը հիմնակմաիւթային շենքերի ռեղոնանսային տատանման ամոլիտուդի կորուկ իջեցման համար։

ЛИТЕРАТУРА

- Саакян А. О., Саакян Р. О., Газарян Ю. Х. Определение периодов и форм свободных колебаний многоэтажных каркасных зданий с несущими получими при наличии демиферных устройств. Изнестия АП АрмССР (серпя Г. Н.)», т. XXVIII, № 2, 1975.
- Санкян А. О., Саркян Р. О., Газарян К). Х. Повышение сейсмостойкости каркасных зданий со стволами жесткости с помощью демиферных устройств. ЦПНИС Гоестроя СССР, сер. «Сейсмостойкое строительство», вып. 11, М., 1975.
- 3 Шахналарян С. Х., Саакян Р. О., Саакян Л. О Возведение здении метолом подъема этажей и перекрытий. М., Стройиздат, 1974.

Տեխնիկական գիտուր, սեշիա

XXXII, № 6. 1979 Серня технических наук

ГИДРОТЕХНИКА

C. A. AHAHЯH

НЕКОТОРЫЕ ВОПРОСЫ ДИПАМИКИ ДВИЖЕНИЯ РАСТВОРА СОЛЕЙ ФИЛЬТРАЦИОННЫМ ПОТОКОМ В ГРУПТАХ

В процессе капитальных промывок уровень грунтовых вод и междренном расстоянии, где расположены чеки, постепенно по определенному закону повышается, а в некоторых случаях может достичь поверхности земли или приблизиться к ней, в связи с чем по времени уменьшается мощность зоны аэрации, а мощность зоны груптовых вод, наоборот, увеличивается.

Различные значения физико-химических параметров почвы и скоростей фильтрации в зоне аэрации почвенного раствора и груптовых вод, а также перемещения по времени границ, разделяющих зоны аэрации от грунтовых вод, являются основными особенностями решаемых ниже задач.

Содово-засоленные почвы Араратской равнины промываются слабым раствором отработанной серной кислоты. Характерной се особениостью является нейтрализация в короткий срок токсических компонентов солей в почве и длительный процесс превращения этих солей из твердой фазы в жидкую (при взавмодействии кальпиевых и натрчевых солей) при непрерывной схеме омывания почвенных апрегатов оросительной водой. В большинстве случаев после кислования почвы среднеи труднорастворимые соли выстилают главным образом на поверхности почвенных агрегатов, для которых применимы линейные уравнения кинетики растворения.

Учитывая сказанное, процесс миграции солей с учетом процесся растворения в зоне аэрации и грунтовых вод приближенно будем исследовать при помощи общих дифферециальных уравнений массопереноса [1-3] с учетом особенностей гидравлически связанных можду собой зон аэрации и грунтовых вод.

Задача 1. Исследовать изменения по времени и глубине концентрации груптовых и почвенных вод с учетом процессов растворения при непрерывной схеме подъема уровня грунтовых вод в междренном про-

Математическую формулировку этой задачи можно представить в следующем виде:

$$D_{1} \frac{\partial^{2} C_{1}}{\partial x^{2}} - V_{1} \frac{\partial C_{1}}{\partial x} + \beta_{1} (C_{H} - C_{1}) = n_{1} \frac{\partial C_{1}}{\partial t};$$

$$D_{2} \frac{\partial^{2} C_{2}}{\partial x^{2}} - V_{2} \frac{\partial C_{2}}{\partial x} + \beta_{2} (C_{H} - C_{2}) = n_{2} \frac{\partial C_{2}}{\partial t}.$$
(1)

а граничные условия — $C_1(x,0) = C_1 = \text{const}; \ C_2(x,0) = C_2 = \text{const}; \ (2)$

$$\left| D_1 \frac{\partial C_1}{\partial x} + V_1 (C_p - C_1) \right| = 0; \quad \left| D_1 \frac{\partial C_1}{\partial x} = D_2 \frac{\partial C_2}{\partial x} \right|$$
 (3)

$$C_1(x_0 - Wt, t) = C_2(x_0 - Wt, t); \frac{\partial C_2}{\partial x} = 0.$$
 (4)

здесь $C_1(x,t)$, $C_2(x,t)$ — соответственно, концентрация почвенного раствора в зоне аэрации и грунтовых вод: C_1 , C_n и C_n , C_n концентрации начального и предельного насыщения; C_d —минерализация промынной (оросительной) воды; D_1 , D_2 и C_1 коэффициенты конвективной диффузии и скорости растворения; C_1 и C_2 и C_3 скорости фильтрациин подъема уровня грунтовых вод: C_1 и C_2 и C_3 скорости фильтрациин подъема уровня грунтовых вод: C_4 начальная глубина залегания уровня грунтовых вод.

Введем вместо независимой переменной x новую — у:

$$y = x - (x_0 - Wt),$$
 (5)

а вместо $C_1(x,t)$ н $C_*(x,t)$ — функции $\phi(y,t)$ и $\Phi(y,t)$:

$$C_1(x,t) = C_N + \varphi(y,t) \exp\left[\frac{V_1 + W}{2D_1}y - \frac{(V_1 + W)^2}{4D_1} - \beta_1 t\right];$$
 (6)

$$C_2(x,t) = C_B + \Phi(y,t) \exp\left[\frac{V_1 + W}{2D_2}y - \frac{(V_1 + W)^2}{4D_2} - 3zt\right]$$
 (7)

С учетом (6), (7) исходная система уравнений (1) и граничные условия (2)—(4) примут следующий вид:

$$\begin{cases} D_1 \frac{\partial^2 \Phi}{\partial y^2} = \frac{\partial \Phi}{\partial t} ; \\ D_2 \frac{\partial^2 \Phi}{\partial y^2} = \frac{\partial \Phi}{\partial t} ; \end{cases}$$
 (8)

$$\varphi(y, 0) = (C_1 - C_n) \exp\left(-\frac{V_1 + W}{2D_1}y\right);$$

$$\Phi(y, 0) = (C_2 - C_n) \exp\left(-\frac{V_1 + W}{2D_1}y\right);$$
(9)

$$D_{|\partial y|_{y=-t_0+w_1}} + \frac{W-V_1}{2} \cdot (-x_0 + Wt, t) = V_1 (C_w - C_p) \exp X$$

$$\times \left[\frac{V_1 + W}{2 D_1} (x_0 - Wt) + \frac{(V_1 + W)^2}{4 D_1} + 3 t \right]$$
 (10)

$$C_{0} + c (0, t) \exp \left[-\frac{c}{4} - \frac{(V_{1} + W)^{2}}{4D_{1}} t \right] = C + \Phi (0, t) \exp \times \left[-\frac{(V_{1} + W)^{2}}{4D_{2}} t \right]$$
(11)

$$\begin{bmatrix}
D_1 \frac{\partial \varphi}{\partial y} & + \frac{V_1 + W}{2} \varphi(0, t) & \exp\left[-\frac{(V_1 + W)^2}{4D_1}t\right] = 0
\end{bmatrix} = \begin{bmatrix}
\frac{\partial \Phi}{\partial y} & + \frac{V_2 + W}{2} \Phi(0, t) & \exp\left[-\frac{3}{2}t - \frac{(V_2 + W)^2}{4D_2}t\right]; \quad (12)
\end{bmatrix}$$

$$\begin{bmatrix}
\frac{\partial \Phi}{\partial y} & + \frac{V_1 + W}{2D_2} \Phi(y, t) & 0
\end{bmatrix} = 0$$

При решении системы ураниений (8) методом преобразования Лапласа с учетом (5) удается точно удовлетворять граничные условия (11) — (12'), а условие (10)— при больших t, $\binom{t}{t}$, τ , е. при малых параметрах Лапласа.

С учетом сказанного, результаты решения исходной системы дифференциальных уравнений (1) можно представить в следующем виде:

$$h(t) = \left(-\frac{3V_1 + W}{4t}\right)(C_n - C_n) \text{ or } \left[e^{-\frac{y}{2}\left|\frac{\partial}{\partial s}} \operatorname{erfc}\left(\frac{y}{2\sqrt{D_2t}} - \frac{y}{2\sqrt{D_2t}}\right)\right] + \left(-\frac{V_n - W}{4t}\right)(C_2 - C_n) e^{(y-b)} + \left(e^{-\frac{y}{2\sqrt{D_2t}}} + V \overline{bt}\right)\right] + \left(-\frac{V_n - W}{4t}\right)(C_2 - C_n) e^{(y-b)} + \left(e^{-\frac{y}{2\sqrt{D_2t}}} - \frac{V(\overline{b} + b' - \overline{s}_2)t}{D_2}\right) + e^{-\frac{y}{2\sqrt{D_2t}}} + \left(\frac{y}{2\sqrt{D_2t}} + V(\overline{b} + b' - \overline{s}_2)t\right)\right] + \left(-\frac{V_n - W}{4t}\right)(C_n - \widetilde{C}_1) e^{2b - \overline{s}_1 t} \left[e^{-\frac{y}{2\sqrt{D_2t}}} - \frac{V(\overline{b} - \overline{s}_2)t}{D_2} + V(\overline{b} - \overline{s}_2)t\right] + \left(-\frac{V_n - W}{4t}\right)(C_n - \widetilde{C}_1) e^{2b - \overline{s}_1 t} \left[e^{-\frac{y}{2\sqrt{D_2t}}} - \frac{V(\overline{b} - \overline{s}_2)t}{D_2} + V(\overline{b} - \overline{s}_1) t\right] + \left(-\frac{V_n + W}{2t}\right) e^{at} \left[e^{-\frac{y}{2\sqrt{D_2t}}} - V(\overline{b} - \overline{s}_1) t\right] + \left(-\frac{V_n + W}{2t}\right) e^{at} \left[e^{-\frac{y}{2\sqrt{D_2t}}} - V(\overline{b} - \overline{s}_1) t\right] + \left(-\frac{V_n + W}{2t}\right) e^{at} \left[e^{-\frac{y}{2\sqrt{D_2t}}} - V(\overline{b} - \overline{s}_1) t\right] + \left(-\frac{V_n + W}{2t}\right) e^{at} \left[e^{-\frac{y}{2\sqrt{D_2t}}} - V(\overline{b} - \overline{s}_1) t\right] + \left(-\frac{V_n + W}{2t}\right) e^{at} \left[e^{-\frac{y}{2\sqrt{D_2t}}} - V(\overline{b} - \overline{s}_1) t\right] + \left(-\frac{V_n + W}{2t}\right) e^{at} \left[e^{-\frac{y}{2\sqrt{D_2t}}} - V(\overline{b} - \overline{s}_1) t\right] + \left(-\frac{V_n + W}{2t}\right) e^{at} \left[e^{-\frac{y}{2\sqrt{D_2t}}} - V(\overline{b} - \overline{s}_1) t\right] + \left(-\frac{V_n + W}{2t}\right) e^{at} \left[e^{-\frac{y}{2\sqrt{D_2t}}} - V(\overline{b} - \overline{s}_1) t\right] + \left(-\frac{V_n + W}{2t}\right) e^{at} \left[e^{-\frac{y}{2\sqrt{D_2t}}} - V(\overline{b} - \overline{s}_1) t\right] + \left(-\frac{V_n + W}{2t}\right) e^{at} \left[e^{-\frac{y}{2\sqrt{D_2t}}} - V(\overline{b} - \overline{s}_1) t\right] + \left(-\frac{V_n + W}{2t}\right) e^{at} \left[e^{-\frac{y}{2\sqrt{D_2t}}} - V(\overline{b} - \overline{s}_1) t\right] + \left(-\frac{V_n + W}{2t}\right) e^{at} \left[e^{-\frac{y}{2\sqrt{D_2t}}} - V(\overline{b} - \overline{s}_1) t\right] + \left(-\frac{V_n + W}{2t}\right) e^{at} \left[e^{-\frac{y}{2\sqrt{D_2t}}} - V(\overline{b} - \overline{s}_1) t\right] + \left(-\frac{V_n + W}{2t}\right) e^{at} \left[e^{-\frac{y}{2\sqrt{D_2t}}} - V(\overline{b} - \overline{s}_1) t\right] + \left(-\frac{V_n + W}{2t}\right) e^{at} \left[e^{-\frac{y}{2\sqrt{D_2t}}} - V(\overline{b} - \overline{s}_1) t\right] + \left(-\frac{V_n + W}{2t}\right) e^{at} \left[e^{-\frac{y}{2\sqrt{D_2t}}} - V(\overline{b} - \overline{s}_1) t\right] + \left(-\frac{V_n + W}{2t}\right) e^{at} \left[e^{-\frac{y}{2\sqrt{D_2t}}} - V(\overline{b} - \overline{s}_1) t\right] + \left(-\frac{V_n + W}{2t}\right) e^{at} \left[e^{-\frac{y}{2\sqrt{D_2t}}} - V(\overline{b} - \overline{s}_1) t\right] + \left(-\frac{V_n + W}{2t}\right) e^{at} \left[e^{-\frac{y}{2\sqrt{D_2t}}} - V(\overline{b} - \overline{s}_1) t\right] + \left(-\frac{V_n + W$$



$$+e^{y\sqrt{\frac{1}{D_{1}}}}\operatorname{eric}\left(\frac{y}{2\sqrt{\frac{1}{D_{2}t}}}+|at|\right) + \frac{V_{1}\left(C_{1}-C_{p}\right)}{2!}e^{\left(-\frac{V_{2}+W}{2D_{1}}c_{4}+At\right)}\left[e^{-y\sqrt{\frac{A}{C_{1}}}}\operatorname{eric}\left(\frac{y}{2\sqrt{\frac{D_{2}t}}}-|At|\right) + e^{y\sqrt{\frac{A}{C_{1}}}}\operatorname{eric}\left(\frac{y}{2\sqrt{\frac{D_{2}t}}}-|At|\right) + \frac{V_{1}\left(C_{1}-C_{2}\right)}{l}e^{-\frac{A}{D_{2}t}}$$

$$\times \left[e^{-\frac{A}{D_{1}}}\operatorname{eric}\left(\frac{y}{2\sqrt{\frac{B}{D_{2}t}}}-|Bt|\right) + e^{y\sqrt{\frac{B}{C_{1}}}}\operatorname{eric}\left(\frac{y}{2\sqrt{\frac{D_{2}t}}}-|Bt|\right)\right]. \tag{13}$$

$$C_{n}(x, t) = C_{n}^{*} + (C_{2} - C_{n}^{*}) e^{-\beta_{2}t} + h(t) \exp \times \left| \frac{V_{n} + W}{2D_{2}} y - \left(\frac{V_{n} + W^{*}}{4D_{2}} \right) \right|$$
 (14)

где

$$a = 2 - 3_1 - \frac{(V_2 + W)^2}{4D_2} - \frac{(V_1 + W)^2}{4D_1}; b = \frac{3}{2}_1 + \frac{W}{4D_1};$$

$$b = \frac{3}{2}_2 + \frac{(V_2 + W)^2}{4D_2}; I = -\frac{V_2 - V_1 - 2V\overline{a}D_2}{2} + \frac{W - 3V_1}{2};$$

$$A = a - \beta_1 + \frac{V + W}{2D_1}W + \frac{(V_1 - W)^2}{4D_1}; B - a + \frac{V - W}{4D_1} + \frac{(V_2 + W)W}{2D_1}; t > 0.7$$

Для упрощения расчетов, согласно [3] можно принять, что исходное засоление перед промывкой близко к предельному, т. е. из расчетной формулы (13) можно отбросить члены, которые умножаются на (C_n-C_1) , (C_n-C_2) . Отметим, что формула (14) относится к перноду вытеснения и растворения солей твердой фазы, не описывает полный вынос солей и опреснение почны и даст более точные результаты для больших значений коэффициента at > 1.

Задача 2. Принимается, что скорости фильтрации в зоне аэрации большие и поэтому в первом дифференциальном уравнении системы (1) можно пренебречь первым членом, который характеризует процесс диффузии солей.

Исходную систему дифференциальных уравнений и граничные условия для иторой задачи можно представить в виде:

$$D_2 \frac{\partial^2 C_2}{\partial x^2} - V_2 \frac{\partial C_2}{\partial x} + \beta_2 (C_R - C_2) = n_2 \frac{\partial C_2}{\partial t} \cdot (x_0 - Wt) \langle x - w \rangle$$
 (156)

$$C_1(x, 0) = C_0 \exp\left(-\alpha \frac{x}{x_0}\right); C_2(0, t) = C_0 \exp\left(-\alpha\right) = \text{const};$$

$$C_1(0, t) = C_P = \text{const}; \ C_1(x_0 - Wt, t) = C_2(x_0 - Wt, t).$$
 (16)

Решение тифференциального уравнения (15а) имеет вид:

$$C_{1}(x, t) = \begin{cases} C_{0} \left[1 - \exp\left(-\beta_{1} \frac{x}{V}\right)\right] + C_{0} \exp\left(-\beta_{1} \frac{x}{V}\right)\right]; & x < Vt; \\ C_{0} \left[1 - \exp\left(-\beta_{1}t\right)\right] + C_{0} \exp\left[\left(-\alpha \frac{x}{x_{0}}\right) - \left(\beta_{1} - \tau \frac{V}{x_{0}}\right)t\right]; & x < Vt. \end{cases}$$

$$(17)$$

Для $C_{\tau}(\mathbf{x},t)$ вводим новую ункцию $\Phi(y,t)$:

$$G_{1}(x, t) = G_{1} + \Phi(y, t) \exp\left[\frac{V_{2} + W}{2D_{2}}y - \frac{(V_{2} + W)^{2}}{4D_{2}} - \beta_{2}t\right]$$
(18)

С учетом (18) дифференциальное уравнение (156) примет вид:

$$D_z \frac{\partial^2 \Phi}{\partial v^2} = \frac{\partial \Phi}{\partial t} \tag{19}$$

решение которого удобно искать в виде суммы двух функций $\Phi_1(y, t)$ $\exists \Phi_1(y, t)$ [4], которые должны удовлетворять следующим условиям:

$$\Phi(y, t) = \Phi_1(y, t) + \Phi_2(y, t);$$

$$D_1 \frac{\partial^2 \Phi_1}{\partial y^2} = \frac{\partial \Phi_1}{\partial t}; D_2 \frac{\partial^2 \Phi_2}{\partial y^2} - \frac{\partial \Phi_2}{\partial t}; \Phi_1(0, t) = 0; \Phi_1(y, 0) =$$

$$= C_0 \exp(-x) \exp\left(-\frac{W^2}{2D_0}y\right); \Phi_2(y, 0) = 0;$$

$$\Phi_{2}(0, t) = \left\{ C_{n} \left[1 - \exp\left(-\beta_{1}t\right) + C_{0} \exp\left[-\frac{1}{2}(x_{0} - Wt) - \left(\beta_{1} - \alpha \frac{V}{x_{0}}\right)t\right] \right\}$$

Окончательное решение дифференциального уравнения (15б) можно представить в виде

$$C_{1}(x_{1}, t) = C_{1} + \frac{1}{2} \left[C_{0} \exp(-z) - C_{1} \right] \left[\operatorname{erfc}(\eta_{1}) - \exp(\zeta_{1}) \operatorname{erfc}(\eta_{2}) \right] + \frac{1}{2} \left[(C_{11} - C_{12}) - (C_{11} - C_{12}) \exp(\zeta_{12}) \right] \left[\exp(\zeta_{12}) \operatorname{erfc}(\eta_{12}) + \exp(\zeta_{12}) \operatorname{erfc}(\eta_{12}) \right] \exp(-\zeta_{12}).$$
(20)

$$r_{3,2} = \frac{(V_2 + W)t + (x - x_0 + Wt)}{2 + D_2 t} = r_{3,4} = \frac{(x - x_0 + Wt)}{2 + D_2 t} =$$

$$\begin{bmatrix} \frac{(V_{1} + W)^{2}}{4D_{1}} + 3 & r, r_{1} = \frac{(V_{2} + W)(x - x_{0} + Wt)}{D_{2}}; \\ \vdots \\ \vdots \\ \frac{V_{1} + W}{2D_{1}} + \frac{3}{2} & r, r_{2} = \frac{(V_{2} + W)(x - x_{0} + Wt)}{D_{2}}; \\ \frac{V_{2} + W}{2D_{1}} + \frac{3}{2} & r, r_{3} = \frac{V_{2} + W}{2D_{3}}; \\ \frac{V_{2} + W}{2D_{3}} + \frac{3}{2} & r, r_{3} = \frac{V_{2} + W}{2D_{3}}; \\ \frac{V_{2} + W}{2D_{3}} + \frac{3}{2} & r, r_{3} = \frac{V_{3} + W}{2D_{3}}; \\ \frac{V_{3} + W}{2D_{3}} + \frac{3}{2} & r, r_{3} = \frac{V_{3} + W}{2D_{3}}; \\ \frac{V_{3} + W}{2D_{3}} + \frac{3}{2} & r, r_{3} = \frac{V_{3} + W}{2D_{3}}; \\ \frac{V_{3} + W}{2D_{3}} + \frac{3}{2} & r, r_{3} = \frac{V_{3} + W}{2D_{3}}; \\ \frac{V_{3} + W}{2D_{3}} + \frac{3}{2} & r, r_{3} = \frac{V_{3} + W}{2D_{3}}; \\ \frac{V_{3} + W}{2D_{3}} + \frac{3}{2} & r, r_{3} = \frac{V_{3} + W}{2D_{3}}; \\ \frac{V_{3} + W}{2D_{3}} + \frac{3}{2} & r, r_{3} = \frac{V_{3} + W}{2D_{3}}; \\ \frac{V_{3} + W}{2D_{3}} + \frac{3}{2} & r, r_{3} = \frac{V_{3} + W}{2D_{3}}; \\ \frac{V_{3} + W}{2D_{3}} + \frac{3}{2} & r, r_{3} = \frac{V_{3} + W}{2D_{3}}; \\ \frac{V_{3} + W}{2D_{3}} + \frac{3}{2} & r, r_{3} = \frac{V_{3} + W}{2D_{3}}; \\ \frac{V_{3} + W}{2D_{3}} + \frac{3}{2} & r, r_{3} = \frac{V_{3} + W}{2D_{3}}; \\ \frac{V_{3} + W}{2D_{3}} + \frac{3}{2} & r, r_{3} = \frac{V_{3} + W}{2D_{3}}; \\ \frac{V_{3} + W}{2D_{3}} + \frac{3}{2} & r, r_{3} = \frac{V_{3} + W}{2D_{3}}; \\ \frac{V_{3} + W}{2D_{3}} + \frac{3}{2} & r, r_{3} = \frac{V_{3} + W}{2D_{3}}; \\ \frac{V_{3} + W}{2D_{3}} + \frac{3}{2} & r, r_{3} = \frac{V_{3} + W}{2D_{3}}; \\ \frac{V_{3} + W}{2D_{3}} + \frac{3}{2} & r, r_{3} = \frac{V_{3} + W}{2D_{3}}; \\ \frac{V_{3} + W}{2D_{3}} + \frac{3}{2} & r, r_{3} = \frac{V_{3} + W}{2D_{3}}; \\ \frac{V_{3} + W}{2D_{3}} + \frac{3}{2} & r, r_{3} = \frac{V_{3} + W}{2D_{3}}; \\ \frac{V_{3} + W}{2D_{3}} + \frac{3}{2} & r, r_{3} = \frac{V_{3} + W}{2D_{3}}; \\ \frac{V_{3} + W}{2D_{3}} + \frac{3}{2} & r, r_{3} = \frac{V_{3} + W}{2D_{3}}; \\ \frac{V_{3} + W}{2D_{3}} + \frac{3}{2} & r, r_{3} = \frac{V_{3} + W}{2D_{3}}; \\ \frac{V_{3} + W}{2D_{3}} + \frac{V_{3} + W}{2D_{3}} + \frac{V_{3} + W}{2D_{3}}; \\ \frac{V_{3} + W}{2D_{3}} + \frac{V_{3} + W}{2D_{3}} + \frac{V_{3} + W}{2D_{3}}; \\ \frac{V_{3} + W}{2D_{3}} + \frac{V_{3} + W}{2D_{3}} + \frac{V_{3} + W}{2D_{3}}; \\ \frac{V_{3} + W}{2D_{3}} + \frac{V_{3} + W}{2D_{3}} + \frac{V_{3} + W}{2D_{3}}; \\ \frac{V_{3} + W}{2D_{3}}$$

Задача 3. Принимается, что уровень груптовых вод при капитальных промывках в сравнительно короткий период времени приближается к поперхности почвы и по времени остается постоянным. Поэтому при решении задачи отпадает надобность разделять область массопереноса на две зоны. Процесс превращения твердой фазы солей в жидкую в этом случае описывается дифференциальным уравнением

$$\frac{dN}{dt} = \gamma_1(Cn - z_0N). \tag{21}$$

который, как известно [2], выражает обратимую адсорбцию и десорбщию растворимых веществ при изотерме Генри. Злесь $\alpha_o = \frac{1}{\Gamma}$, Γ — коэффициент Генри; n — активная пористость групта.

Задача решается при помощи систем дифференциальных уражнений массопереноса

$$\begin{bmatrix} V \frac{\partial C}{\partial x} + x \frac{\partial N}{\partial t} + \frac{\partial C}{\partial t} = 0, & \eta = \frac{1-n}{n} \\ \frac{\partial N}{\partial t} = -\gamma_1 (Cn - z_0 N) \text{ with } \frac{\partial N}{\partial t} = z (C - N), \end{cases}$$
(22)

$$t = 0, C_0(x, 0) - C_0 \exp(-\delta x), N(x, 0) - N_0 \exp(-\delta x),$$

$$t > 0, x, -0, C = C_0.$$
(23)

Результаты решения задачи для $C_1(x,t)$ можно представить в следующем виде:

$$C_{x}(x, t) = \frac{(1-n)\alpha N_{0}e^{-tx}}{nA} \left[\left(1 + \frac{\alpha}{A}\right)e^{At} + \left(\alpha + \frac{a_{0}V}{A}\right)t - \left(1 + \frac{\alpha}{A}\right) \right] + \frac{Va_{0}C_{0}e^{-(3x-At)}}{A^{2}} \left[\left(1 - e^{-At}\right)\frac{2\alpha}{A} - \left(\alpha - \frac{a_{0}V}{A}\right)te^{-At} - \left(\alpha - A + \frac{14a_{0}V}{A}\right)t - \left(1 - \frac{2\alpha}{A} - \frac{A^{2}}{a_{0}V}\right) \right] - \left(1 + \frac{3a_{0}V}{A^{2}}\right)e^{-At} + \frac{3a_{0}V}{A^{2}}; \qquad (24)$$

$$N(x, t) = \alpha e^{-\alpha t} \int_{0}^{t} C(x, \tau) e^{\alpha \tau} d\tau + N_{0}e^{-\alpha t}; \quad A = \alpha V - \frac{\alpha(1-n)}{n}, \qquad a_{0} = \frac{\alpha^{2}(1-n)}{n}. \qquad (25)$$

Уравнения (24)—(25) дают более точные результаты при малых аначениях коэффициента α (α < 0.02), который входит в уравнение сорбини (22). Это дала возможность при решении задачи ограничиться первыми гремя членами ряда, расположенными по степеням малого параметра — Аналогичным образом получены решения задачи для

$$t > \frac{x}{V}$$

Более сложные задачи вассопереноса фильтрационным мотоком при капитальных промынках и орошении на фоне горизонтального и вертикального дренажей для разных гидрогеологических и мелиоративных условий можно разрешить методом математического моделирования [4—6].

ЕрПИ им К. Маркса

Поступало 2 / V.1979

II. Ա. ԱՆԱՆՅԱՆ

ԳՐՈՒՆՏՆԵՐՈՒՄ ԱՂԱԼՈՒԾՈՒՅՔՆԵՐԻ ՖԵԼՏՐԱՑԵՈՆ ՀՈՍՔՈՎ ՇԱՐԺՄԱՆ ԳԻՆԱՄԻԿԱՅԻ ՈՐՈՇ ՀԱՐՑԵՐ

Ucioninia

Հոդվածում բերված են նյութատեղափոխման երեք աիպային խնդիրների մոտավոր լուծման արդյունրենրը աղակայած հողերի կապիտալ լվացման ժաւ՞անակ գրունտային ջրերի շարժման պրոցեսում։

անդիրների լուծումը իրականացված է հայտնի ֆիզիկո-բիմիական դիֆերենցիալ հավասարումների օգնությամբ՝ տարբեր սորբդիոն պրոցեսների պայմաններում։

Առաջին երկու իներիրների լուծման ժամանակ հաշվի է առնված նաև, որ գրունատյին ջրերի մակարդակը լվացման պրոցնաների ժամանակ բարձրանում կամ իջնում է, որի հետևանրով հավասարումների լուծումը իրականացված է չարժական սահմանային պայմանների համար։ Այդ հանդամանքը ինգրի լուծման ժամանակ առաչացնում է որոշ դժվարություններ, որոնջ հաղքահարված են մոտավոր հղանակներով

ЛИТЕРАТУРА

- 1 Веригия И. И., Шержиков Б. С., Шапинская Г. П. К расчету промывания в заенных почв Тр. коорд. сов. по гидротех., вып. 35, Л., «Энергия», 1967.
- 2. Под ред. Н. Н. Веригика, Гидродинамические и физика химические выйства таримх вород М., Педра», 1977
- 3. Аверьянов С. Ф. Борьба с засолением орошлемых земель, М., «Колос». 1978.
- Ананян С. 4. Изменение минерализации почненного раствора и грунтовых по г при капитальных промывках. Известия АНА мССР (серия Т. И. у. т. XXIX, № 6, 1976)
- Андиян С. А. О некоторых результатах решения пространственной задачи массопереноса, «Известия АН АрмССР (серия Т. Н.)», т. XXX. № 6, 1977.
- о. Ананян С. Л. Массоперенос фильтрационным потоком ин фоне горизонтального пренажа Пассетия АП АрмССР (сервя Т.П.) т XXXII № 2, 1979.

ВЫЧИСЛИТЕЛЬНАЯ ТЕХНИКА

Д. С. МЕЛКОНЯН, А. А. ГАЗАРЯН

ЧИСЛЕННЫЯ МЕТОЛ РАСЧЕТА ЧАСТОТНЫХ ХАРАКТЕРИСТИК ПО НЕРАВНООТСТОЯЩИМ ОТСЧЕТАМ КРИВОЙ переходного процесса

В ряде случаев эффективным средством сокращения избыточности исходных данных инфрового спектрального анализа переходных процессон является введение неравномерного шага дискретизации, при котором отечеты анализируемого процесса берутся в точках, расположенных по закону геометрической прогрессии [1, 2]. В настоящей работе дискративения и выпраднить в предлагает и можети в предлагается и может и може функций времени, особенностью которого является использование способа кусочно-линейной аппроксимании преобразуемой функции с разложением аппрокримирующей кривой на сумму сдвинутых во времени неравнобедренных треугольников.

Метод. Пусть h(t) — исходиая функция времени, описывающая анализируемый процесс, которая задана своими дискретными значениями (k = 0.1, ..., N) в точках

$$t_k = t_0 \cdot c^k, \tag{1}$$

где t_0 — точка, в которой берется нервый отсчет $(t_0 \neq 0)$; $t_0 = 1$ — ноказатель геометрической прогрессии, определяющий скорость возрастания интервалов между последовательными отсчетами.

Для приближенного расчета спектральных характеристик функция h(t) аппрокенмируется кусочно-ломаной кривой, состоящей из отрезков прямых, сопрягающихся в точках $h(t_s)$. При этом спесобе аппроксимации, в предположения, что h(0) = 0, функция h(t) может быть представлена в виле

$$h(t) = \sum_{k=0}^{N-1} h(t_k) \varphi_k(t-t_k) + h(t_N) \eta_N(t-t_N), \tag{2}$$

где правая часть уравнения янляется аналитическим выражением аппроксимирующей кривой, а $q_n(t)$ и $\eta_n(t)$ — функции, определяемые следующими разенствами

$$| \varphi_k(t) = 0, \quad \text{при } t > \Delta t_{k-1},$$

$$| \varphi_k(t) = 0, \quad \text{при } t < \Delta t_1,$$

$$\begin{cases} \varphi_{\bullet}(t) = 1 - \frac{t}{\Delta t_{k+1}}, & \text{при } 0 < t \leq \Delta t_{\bullet}, \\ \varphi_{k}(t) = 1 + \frac{t}{\Delta t_{k}}, & \text{при } \Delta t_{k} \leq t \leq 0; \\ \tau_{N}(t) = 0, & \text{при } t > 0, \\ \eta_{N}(t) = 0, & \text{при } t \leq \Delta t_{N}, \end{cases}$$

$$(4)$$

$$\eta_{N}(t) = 1 + \frac{t}{\Delta t_{N}}, & \text{при } \Delta t_{N} \leq t \leq 0,$$

FIC

$$\Delta t_1 = t_1 - t_{k-1} = t_0 \ c^{k-1} (c-1). \tag{5}$$

Представление аппроксимирующей функции в виде суммы неравнобедренных треугольников $\phi_{\kappa}(t)$ и прямоугольного треугольника $\eta_{\infty}(t)$ согласно уравнению (2) излюстрируется на рис. 1.

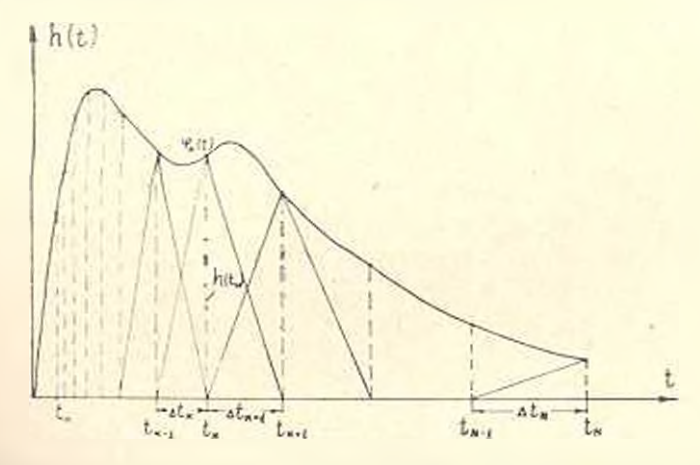


Рис. 1. Предствиление аппроксимирующей функции в инде неравнобелренных треугольников.

Для получения приближенного выражения комплексного частотното спектра функции h(t), определяемого формулой

$$H(j\omega) = \int_{0}^{\infty} h(t) e^{-j\omega t} dt, \qquad (6)$$

меобходимо в выражения (6) вместо функции подставить ее приближенное выражение (2). Получаем

$$H(f_n) \approx \sum_{k=0}^{N-1} h(t_k) \circ_k (f_n) e^{-f_n t_k} + h(t_N) \tau_N (f_n) e^{-f_n t_N},$$
 (7)

где $\varphi_k(j\omega)$ и $\eta_N(t)$ --комплексные спектры функций $\varphi_k(t)$ и $\eta_N(t)$. Расчетные выражения для $\varphi_k(j\omega)$ представляющей собой ком-

плексный спектр неравнобедренного треугольника, после ряда преобразований, приводится к виду

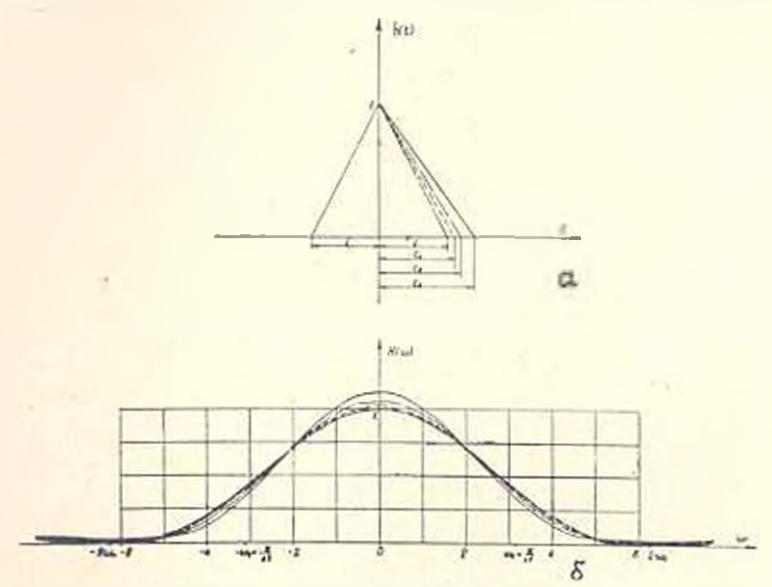
$$\sigma_{k}(j\omega) = \frac{1 + c - c \cdot \cos \omega \Delta t_{k} - \cos c \omega \Delta t_{k}}{\omega^{2} c \Delta t_{k}} + j \frac{\sin c \Delta t_{k} \cdot c \cdot \sin \Delta t_{k}}{\omega^{2} c \Delta t_{k}}$$
(8)

Комплексный спектр функции $\eta_N(t)$ выражается формулой

$$I_{\infty}(i\omega) = \frac{1 - \cos \omega \Delta t_{\infty}}{1 - \cos \omega \Delta t_{\infty}} + \frac{i}{\omega} \left(1 - \frac{\sin \omega \Delta t_{\infty}}{\omega \Delta t_{\infty}} \right). \tag{9}$$

Таким образом, вычисление частотных спектров функции h(t), заданной в экспонециально распределенных точках, с использованием кусочно-линейной аппроксимации, сводится к расчету спектров неравнобедренных треугольников с вершинами в точках $h(t_{\rm A})$ и суммированием их согласно формуле (7).

На основе разработанного метода построен алгоритм расчета частотных спектров для логарифмических шкал частот. Он построен таким образом, чтобы избежать повторения вычислений некоторых из членов, входящих в формулу (7). С этой целью введен греугольник ф(1), высота которого делиг основание на части, равные 1 и г (рис. 2а).



Рез. 2. а — типовые перавнобедренные реугольники с различными значениями параметра c; о — амплитулные спектры соответствующих треугольников.

Можно записать следующие соотношения

$$\varphi_0(t) = \psi\left(\frac{c}{\Delta t_0}\right),$$

$$\vdots$$

$$\psi_k(t) = \psi\left(\frac{t}{c^k \Delta t_0}\right),$$
(10)

где

$$\Delta t_{\rm s} = t_{\rm o} \left(1 - \frac{1}{c}\right) \tag{II}$$

* Пусть $\psi(j_{\Theta})$ — частотный спектр функции $\psi(t)$, тогда может быть записано соотношение

$$\varphi_k \{ f \omega \} = \varepsilon^k \Delta t_0 \varphi_0 \left(\varepsilon^k \Delta t_0 f \omega \right). \tag{12}$$

Если вычислять функцию Н (јы) иля лискретного ряда частот

$$\omega_7$$
 , (13)

то, с учетом (12), выражение (7) запишется в виде

$$H(j\omega_k) = \sum_{k=0}^{N-1} h_k c^k \Delta t_0 \div (c^k - \Delta t_0) - e^{-N-N} + \frac{1}{2}$$

$$-h(t_N) \, \tau_N \, (c^{N+1} \Delta t_0 j\omega_0) - e^{-t_N}. \tag{14}$$

На основе разработанного алгоритма записаны программы расчетов на языках программирования АП ЭВМ семейства «Папри» и ФОРТРАН-IV. Расчеты производились на ЭВМ «Напри-2» и ЕС-1030, соответственно

В качестве исходной информации в ЭВМ вводятся следующие исходные данные: 11 значение t_0 — точки, в которой берется первый отсчет; 2) число веравноотстоящих ординат исходной функции; 3) тип исследуемой кривой; 4) значения ординат h_k и 5) число точек на декаду, соответствующее определенному значению v, которое выбирается, исходя из следующих соображений. При представлении функции h(t) в логарифинческих шкалах, шаг дискретизации определяется числом отсчетов, приходящих на декаду. При дискретизации исходной функции с шагом, соответствующим заданию n точек на декаду, выполняется соотношение $c^n = 10$, откуда $c = \sqrt[n]{10}$.

При n=10 точек на декаду r=1,258925497, n=20 c=1,122018486, n=40-c=1,059253737

Проведлиные расчеты показали, что при шаге дискретизации, соответствующем заданию 20 точек на декаду, обеспечивается достаточно высокая точность расчетов.

На рис. 26 показаны амплитудные спектры неравнобедренных треугольников, рассчитанные для различных значений с. которые выбираются в соответствии с n = 10 (пунктирная кривая), 20 (штрих-вунктирная) и 40 точкам на декаду (сплошная кривая). Как видно из рисунка, спектры рассматриваемых треугольников, также как и амплитудный спектр равнобедренного треугольника (точечная кривая на рис. 26), не имеет ограничения по частоте, что позволяет пычислять спектры исслезуемых функций в значительных цваназонах их изменения,

Эффекти алесть разработанного метода и вычислительного алго-

ритма была определена путем сравнения аналитических снектров со спектрами, вычисленными согласно разработаниому алгоритму и алгоритму, использующему равномерные отсчеты исходной функции. На ряле типовых примеров показано, что алгоритм расчета частотных спектров по экспоненциально распределенным отсчетам по сравнению с алгоритмами, использующими равномерные отсчеты преобразуемой функции, использует значительно меньшее число отсчетов — избыточность данных сокращается, в среднем в 6—12 раз, что способствует сокращению времени машинных расчетов.

Пример расчета. Рассмотрим импульсную переходную функцию системы управления зрачковым рефлексом $h_{\pm}(t)$, полученную на основе экспериментальных данных.

На рис. За показаны: а) исходная функция h_+ (t), дискретизированизя по исравноотстоящим отсчетам; б) соответствующие кривые ампли-

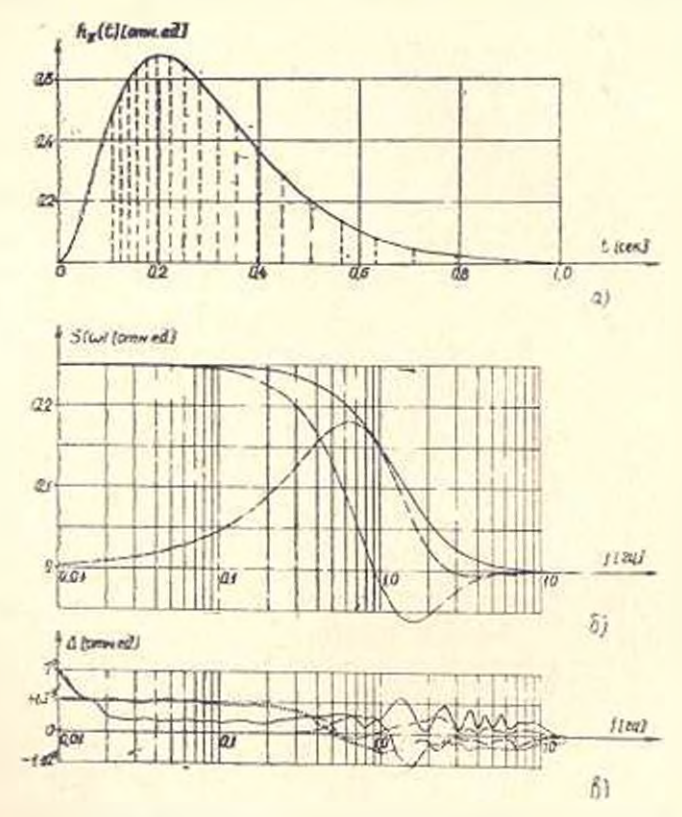


Рис. 3. а — дискретизация исходной функции по неравноотстояним отсчетам; 6 — частотных спектры функции h (1); в — соответствующие кривые опшобок расчета сректров.

тудного (сплошная), вещественного (штрих-пунктирная) и мнимого (пунктирная) спектров, представленные в логарифмической шкале частот в днапазоне от 0,01 до 10 Гц; в) соответствующие кривые ошибок, гле точечная кривая отображает опичбки расчета согласно алгоритму па равноотстоящим отсчетам.

Используемое число ординат равно 40— для алгоритма по перавноотстоящим отсчетам и 240— алгоритма по равноотстоящим отсчетам.

Выводы

Разработач метод инфрового спектрального анализа, особсивостями которого являются: 1) задание исходной информации для расчетов в виде значении преобразуемой функции в конечном множестве точек, расположенных по закону возрастающей геометрической прогрессии; 2) использование способа кусочно-липейной анпроксимации преобразуемой функции г разложением анпроксимируемой криной на сумму сдвинутых во времени перавнобедренных треугольников.

На этой основе построен алгоритм инфрового спектрального анализа, эффективный с точки зрения сакращения избыточности данных, используемых для машинной обработки. Логарифмические шкалы, для которых производятся расчеты частотных спектров, позволяют охватывать значительные днаназоны их задания. На численном примере произлюстрирована высокая точность расчетного алгоритма и его эффективность и отношении сокращения избыточности данных.

Расчетные формулы разработанного метода и построенного ин его основе алгоритма сравнительно просты и удобны для программной реализации.

Инст. физиология АН АрмССР

Поступпло 13.У1.1979

Դ Ս. ՄԵԼՔՈՆՅԱՆ, Ա. Ա. ՎԱԶԱՐՅԱՆ

ՀԱՃԱԽԱԿԱՆ ՔՆՈՒԹԱԳՐԵՐԻ ՀԱՇՎԱՐԿՄԱՆ ԹՎԱՑԻՆ ՄԵԹՈԳ ԱՆՑՈՎԻԿ ՊՐՈՑԵՍԻ ԿՈՐԻ ԱՆՀԱՎԱՍԱՐԱԶԱՏ ՀԱՇՎՈՒՄԵՄՐՈՎ

B. of den den e of

Առաջարկվում է անցողիկ պրոցեսների ճաճախական բնուքադրերի նա վարկվան նոր մեքնող, որի առանձնահատկությունը կայանում է հլման կորի կասը-ոծային ժուսարկման հղանակի օգտաղործումը և նրա անճավասարազատ հաշվումների կիրառումը, որոնք ենքարկվում են աճող երկրաշափական այրողբեսիայի օրենթին։

Մշակման ժնքոդը և նրա հիմքի վրա կառուցված Հաշվողական ալդոոիքներ լոգարիքմակ<mark>ան ցուցանակի</mark> Համար հանդիսանում են ավելցուկ ելային ավյալների կրձատման էֆեկտիվ միջոց։

ЛИТЕРАТУРА

- Мелконян С. Метод пипрокенмации пинамических характеристик экспо езипальпо-спиусопд. явими функциями. «Известия АП АрмССР (серяя Т. И.)» г. XXII. № 5, 1969.
- 2. Helms D. D. Power Spectra Obtained from Exponentially Increasing Spacings of Sampling Partons and Frequencies, IEEE Trans. Acoustics, Speech and Signs' Processing. ASSP 24, No. 1, Fedr. 1976, 63-71.

Տեխնիկական գիտութ, սերիա

XXXII, Nº 6, 1979

Серия технических ваук

НАУЧНЫЕ ЗАМЕТКИ

г. дж. кочинян

РЕГУЛИРОВАНИЕ КРУТИЛЬНОЙ ЖЕСТКОСТИ НЕСМІЦЕЛ СИСТЕМЫ ГРУЗОВОГО АВТОМОБИЛЯ

В практике автомобилестроения принято несущую систему грузового автомобиля рассчитывать под воздействием статических нагрузок, а влияние динамических нагрузок учитывать с помощью коэффициента динамичности нагрузки [3], который определяется

$$K_1 = 2 \cdot K_{1-1-1} \tag{1}$$

где К_т, коэффициент динамичности нагрузок на коловую часть автомобиля; **2** коэффициент, учитывающий степень влияния жесткости несущей системы.

Записимость $K_1 = f(\alpha)$ предопределяет необходимость расчета и регулирования жесткости несущей системы при кручении в зависимости от конструкции кузова, рамы и соединительных элементов так, чтобы суммарные запряжения в сечении лонжерона рамы были минимальные и сглаженные.

В антомобилестроении принято на шасси базового автомобиля устанавливать различные кузова (цистерна, самосвальный кузов, фуртом, крановая установка и т. д.), что сильно влияет на условия работы рамы. В таких случаях крутильную жесткость изсущей системы можно регулировать только с помощью жесткостей и мест крепления соединительных элементов крепления кузова с рамой.

Конструкции этих элементов должны быть такие, чтобы они обладали значительно большой жесткостью в поперечном направлении, чем в продольном [1]. Их суммарную жесткость обычно выбирают так, чтобы отсут твовали этносительные перемещения кузова в илоскости рамы и ограничивался поворот кузова относительно рамы.

Нормальное наприжение, возникающее в любом сечении лонжеронов и поперечии рамы, ипределяется согласно формуле [2]

$$= \frac{\Lambda'}{F} - \frac{M_{\text{ex}}^{\dagger}}{J_{x}} y - \frac{M_{\text{ex}}}{J_{y}} z + \frac{B}{J_{x}} \tag{2}$$

Значения σ при кручении несущей системы зависят от внешних и внутрениих силовых и геометрических параметров злементов этой системы (X_j) и определяются в зависимости от мест крепления въедицительных элементов y_j и их жесткостей C_{G_j}

$$z = f(X, y_j; C_{cij}). \tag{3}$$

Задача оптимизации мест крепления соединительных элементов формулируется следующим образом:

минимизировать
$$U=\Sigma\sigma$$
, (4)

при ограничениях

$$\begin{cases} \frac{a}{a_{1}}(y_{j}, C_{csj}), \\ A_{j}(y_{j}, C_{csj}), \lambda_{j} = b_{j}(y_{j}, C_{csj}), \\ Y_{1j} \leqslant y_{j} \leqslant Y_{2j}, \end{cases}$$
 (5)

где $Y_{1j},\ Y_{2j}$ — соответственно, нижние и верхине пределы изменения мест крепления соединительных элементов.

В ограничениях (о) коэффициенты $a_t(y_t, C_{cst})$ и $b_t(y_t, C_{cst})$ зависят от мест крепления и жесткостей соединительных элементов.

Для определения X, запишем уравнения упругих линий лонжеронов рамы и кузова в следующем виде:

$$\overline{E}\overline{J}_{y}\frac{d^{3}z}{dx^{2}} = \Sigma\Gamma_{\overline{i}_{3i}}\overline{V}_{i} + \Sigma\Gamma_{\overline{i}_{3j}}S_{j} + \Sigma\Gamma_{\overline{i}_{2i}}\overline{M}_{H};$$
(6)

$$E J_{\gamma} \frac{d^4 z}{dx^4} = \Sigma \Gamma_{l3l}^{\dagger} P_l + \Sigma \Gamma_{l3l}^{\dagger} S_I - \Sigma \Gamma_{l2l}^{\dagger} M_{ll}. \tag{7}$$

Здесь EJ и z, z — жесткости лонжеронов и вертикальное перемещение пейтральных осей; P_I , P_I и S=S — внешние нагрузки и усилия соединительных элементо $v_i = v_i$ — координаты силовых факторов: $\Gamma_{I_{3i}}$ Γ_I , Γ_{τ} , Γ_{τ} и Γ_{top} Γ_{τ} — миновенные прерыватели первого и иторого порядков [4]; M_{II} , M_{II} — для — лонжерснов пазгибающие, а для поперечин кругящие моменты, которые определяются по формулам;

$$M_{II} = C_{II} \left[\left(\frac{dz}{dx} \right)_{s} - \left(\frac{dz}{dx} \right)_{n} \right];$$

$$\overline{M}_{II} = \overline{C}_{II} \left[\left(\frac{d\overline{z}}{d\overline{x}} \right)_{s} - \left(\frac{d\overline{z}}{d\overline{x}} \right)_{n} \right],$$
(8)

где C_0 , C_0 — жесткости поперечни (яндексы л и п указывают левый и правый борты автомобиля).

Усилия соединительных элементов S_i определяются на уставии совместности деформации лонжерона кузова, соединительных элементов и лонжерона рямы в точках крепления этих элементов

$$z_j + \Delta t_j = z_j \tag{9}$$

где M_j — деформация j-ого соединительного элемента.

В результате совместного решения уравнений закручивания несушей системы определяются все силовые факторы, необходимые для онтимизации суммарных напряжений U, и крутильная жесткость несущей системы $U_{\rm nc}$ для определения α .

Для примера рассмотрим несущую систему автомобиля—пистерны АЦ-4,2-130. Крапление цистерны с рамой осуществляется с помощью трех нар соединительных элементов. Расчетная схема приведена на рис. 1.

Места установки передних и задних соединительных элементов остаются без изменений для обеспечения прочности цистерны, а сред-

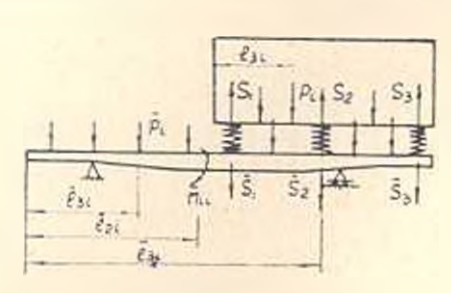


Рис. 1. Расчетная схема

ине опоры перемещаются между инми по длине рамы, начичая с 370 см от передней кромки лонжерона до 510 см. Жесткость соединительных элементов изменяется и пределах 500÷3000 кгс/см. Но результатам расчетов построена картина изменения крутильной жесткости несущей системы (рис. 2), где в завискмости от жесткости

указано оптимальное место крепления среднего соединительного элемента.

Величины паибольших папряжений лопжеронов рамы, коэффициенты запаса прочности по отдельным папряжениям и угловая жесткость несущей системы приведены в таблице, откуда видно, что с увеличе-

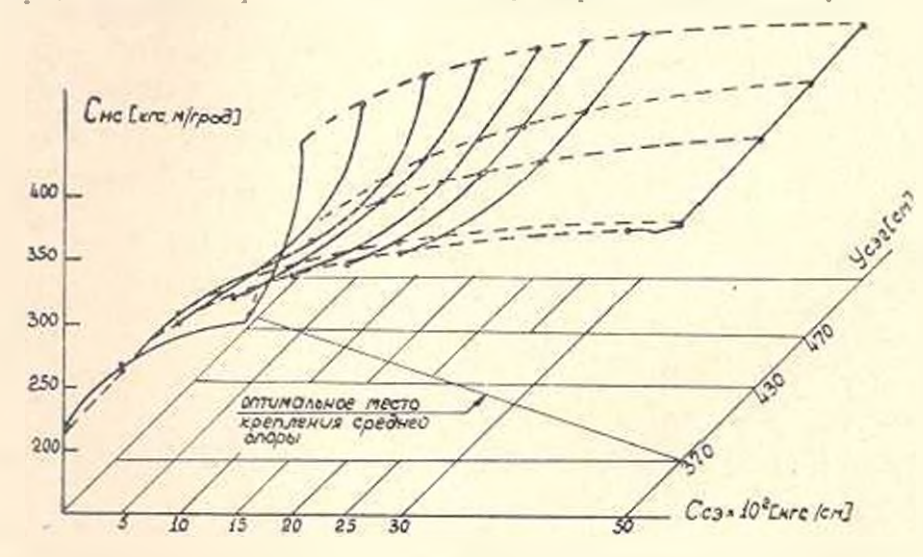


Рис. 2. Угловая жесткость несущей системы автомобиля мирки AII-4 2-130.

нием жесткости несущей системы в сечениях лонжерона рамы возрастают нормальные напряжения. С другой стороны, с увеличением жесткости носущей системы более чим в два раза коэффициент с увеличивается в 1,7 раз.

Таким образом, введение упругих соединительных элементов меж-

		Табянца				
Наибольшее напряжение в кгс.с.и2 и запас прочности при статическом кручения на 1,45° с грузом 4,2 м						Углоная жесткость
O _{ath}	n	Fro	п	a ^u	n	н кгс-м/град
332	7,23	100	24	525	4.57	157
321	7 -48	120	20	525	4,57	186
450	5.3	180	13,3	540	4,44	273
569	4,22	200	12	610	4,93	289

ау цистерной и рамой позволяет снизить напряжения в весьма ответственной детали—лонжероне рамы, увеличить его ресурс, а жесткость песущей системы автомобиля АЦ-4,2-130 приблизить к жесткости базового автомобиля ЗИЛ 130 (150 кгс-м/град).

Еріні им. К. Маркса

Поступная 10.1Х.1979

150

306

ЛИТЕРАТУРА

- Владыкий И. І. п. др. Влаяние параметров амортизационных услов до на сигримескую изгруженность несущей састемы грузового автомобиля. Автомобильная промышленность», 1973. № 10.
- 2 Влисов В. Л. Топкостенные упругие стержи М. Филматти., 1959.
- 3 Гельфеат Д. Б., Ошиоков В. А. Рамы грузовых автомобилей. М., Маштиз, 1959.
- 4. Герсеванов И. М. Функциональные прерыватели и их примене не и строительной механике, Сб. ВНОС. № 1. 2 ОППП, М., Госстройиздат 1933—1931.

Серия технических поук

научные заметки

э. А ПНАЕКЯП

ОПТИМАЛЬНЫ<u>П ВЫБОР СХЕМ И ПАРАМЕТРОВ</u> РЕЗОНАНСНЫХ <u>МАШИИ ДЛЯ ИСПЫТАНИЯ</u> НА УСТАЛОСТЬ

При разработке машин для испытаний различных объектов на усталость, работающих в резонансном (автоколебательном) режиме, ислинкает задача выбора оптимальной динамической схемы, т. к. режим работы машии, их производительность и эффективность использования возбудителя колебаний во многом определяются схемой построения и параметрами колебательной системы машины.

Известно, что для испытаний объектов с большим декрементом колебаний (бетон, полимеры и г. д.) в резонанском режиме наиболее целесообразно использовать машины с косвенным позбуждением, обеспечивающие передачу циклических деформирующих воздействий на испытуемый объект через промежуточную упругую систему— осиндлятор [1, 2]. Машины этой группы, особенно с возбудителями электрического типа и работающие в автоколебательном режиме, малоизучены

Настоящая работа посвящена анализу трех основных типов динамических схем наиболее распространенных машии с косвенным возбуждением с целью оптимального выбора схем и параметров с обеспечением таких показателей машии, как максимальные:

- произволительность:
- коэффициент эффективности, т. е. отношение силы реакции, действующей в испытуемом объекте, к амилитудному значению усилия, развиваемого преобразователем-возбудителем;
- стабильность поддержания частотных режимов.

При исследовании стабильности частотных режимов испытаций в настоящей работе принят коэффициент, показывающий изменение рабочей частиты при изменении жесткости испытуемого объекта.

1. Машина типа РПу.

Приведенную на рис. 1а динамическую схему машины РПу можно начительно упростить, учатывая, что для удовлетворения метрологическим и виброизоляционным требованиям [2, 3] парциальная частота динамометра c_* , m_* должна быть на порядок выше максимальной, а амортизатора c_* — m_* — ниже минимальной рабочей частоты машины. Уравнение движения упрошениой динамической схемы, приведенной на рис. 16, запишется:

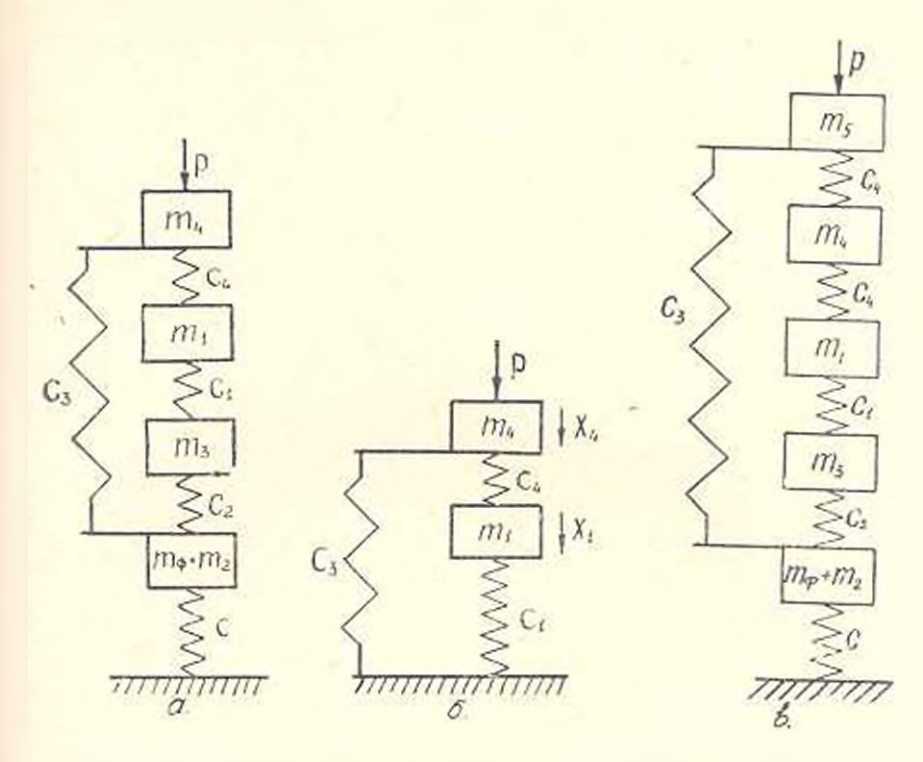


Рис. 1. Динамические ехемік машин типов РПу и Микротрон Жесткости; ϵ — амортизатора; ϵ_1 — образца; ϵ_2 — динамометра; ϵ_3 — пружины статического нагружения; ϵ_4 — осциллятора. Массы m_1 — активного захвата; m_2 — станины; m_3 — пассипного захвата; m_4 — осциллятора; m_5 — якоря возбудителя: m_{d_1} — фунламента

$$| m_4 \frac{d^2 x_1}{dt^2} + c_4 (x_4 - x_4) - c_3 x_4 = P,$$

$$| m_1 \frac{d^2 x_1}{dt^2} + c_1 x_1 + c_4 (x_1 - x_4) = 0.$$
(1)

Приняв возбуждающую силу гармонической

$$P = P_0 \sin \omega t_1 \tag{2}$$

а для установившегося движения --

$$x_i = x_{ol} \operatorname{Sin} \omega t \tag{3}$$

и учитывая, что для автоколебательного режима система однородных уравнений (1) имеет единственное решение, когда ее определитель D=0, выражение для определения частот из (1) запишется

$$-^{2}=\frac{1}{2}\frac{c_{1}m_{4}+c_{2}m_{1}+c_{3}m_{1}+c_{4}m_{4}}{m_{1}m_{4}}+$$

$$\mp \sqrt{\frac{1}{4} \left(\frac{c_1 m_4 + c_4 m_1 + c_4 m_1 + c_4 m_4}{m_1 m_4}\right)^2 - \frac{c_1 c_3 + c_1 c_4 + c_3 c_4}{m_1 m_1}}$$
(4)

Амилитуда сил реакций, действующих:

а) в резонирующей пружине осниллятора —

$$P_{04} = \frac{P_0}{D} c_4 \left(c_2 + c_4 - m_1 - m_1 \right) \tag{5}$$

б) в испытуемом образце -

$$P_{01} = \frac{P_0}{D} c_1 c_4 \ . \tag{6}$$

Коэффициент эффективности по Гарфу равен

$$K_{2} = \frac{P_{0}}{P_{0}} = \frac{c_{1} c_{4}}{(c_{1} + c_{4} - m_{1}^{(0)})(c_{2} + c_{4} - m_{4}^{(0)2}) - c_{4}}.$$
 (7)

2. Машина типа ВП-40.

Аналогичным образом приведенную на рис. 2а схему можно упростить и представить в виде двухмассовой системы (рис. 26). Уравнение движения такой системы запишется:

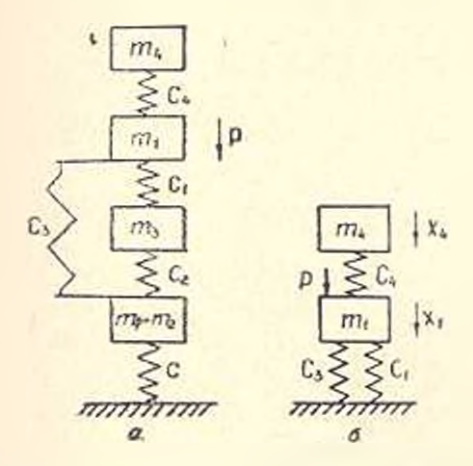


Рис. 2. Динамическая схема машины типа ВП-40 (обозначения яналогичны приведенным на рис. 1).

$$\begin{cases} m_4 \frac{dx_4}{dt^2} + c_4 (x_4 - x_1) = 0; \\ m_1 \frac{dx_1}{dt^2} + c_4 (x_1 - x_4) + x_1 (c_1 + c_3) = P. \end{cases}$$
 (8)

После соответствующих упрощений уравнение частот системы (8) запишется:

$$= \frac{1}{2} \frac{c_1 m_4 + c_3 m_4 + c_4 m_4 + c_4 m_1}{m_1 m_4}$$

$$= \sqrt{\frac{1}{4} \left(\frac{c_1 m_4 + c_3 m_4 + c_4 m_4 + c_4 m_1}{m_1 m_4}\right)^3 - \frac{c_3 c_4 + c_3 c_4}{m_1 m_4}}$$
(9)

Амплитуда сил реакций, действующих:

а) в резонансной пружине осинллятора —

$$P_{04} = \frac{P_0}{D} c_i^2; \tag{10}$$

б) в испытуемом объекте —

$$P_{iii} = \frac{P_0}{D} c_1 (c_4 - m_i \omega^2),$$
 (11)

Коэффициент эффективности по Гарфу:

$$K_2 = \frac{c_1 \left(c_1 - m_1 \omega^2 \right)}{\left(c_1 - m_2 \omega^2 \right) \left(c_1 + c_3 + c_4 - m_1 \omega^2 \right) - c_1^4}$$
(12)

3. Машина типа Микротрон фирмы САДАМЕЛЬ.

Учитывая, что величила массы *m*, намного меньше *m*, н *m*₁, приасденную на рис. Тв схему указанной машины можно упростить и привести к двухмассовой, аналогично предстанленной на рис. Тб, но жесткость пружины статического нагружения с, в данном случае будет заменена комплексной жесткостью

$$c_0 = \frac{c_3 c_4}{c_3 + c_1}$$
 (13)

Выражения для определения частоты и коэффициента эффективпости с учетом (13) запинутся:

$$m_{1}^{2} = \frac{1}{2} \frac{c_{1}m_{1} + c_{2}m_{1} - c_{4}m_{4}}{m_{1}m_{4}} - \frac{1}{m_{1}m_{4}} - \frac{1}{m_{1}m_{$$

Для анализа удобно выражения (1), (9) и (14) несколько видоизменить и, учитывая, что рабочая частота и автоколебательном режиме определяется низшей собственной частотой колебательной системы, представить в виде:

$$\omega_{4}^{2} = \frac{1}{2} \left(A + a_{1} \frac{c_{3}}{c_{3}} \right) - \left[\frac{1}{4} \left(A - a_{1} \frac{c_{3}}{c_{1}} \right) - \left(a_{2} + a_{3} \frac{c_{3}}{c_{3}} \right) \right]$$
 (16)

$$\omega_{\rm n}^2 = \frac{1}{2} \left(A + a_4 \frac{c_3}{c_1} \right) - \sqrt{\frac{1}{4} \left(A + a_4 \frac{c_3}{c_1} \right)^2 - \left(a_2 + a_2 \frac{c_3}{c_1} \right)}; \quad (17)$$

$$\omega_0^2 = \frac{1}{2} \left(A + a_1 \frac{c_0}{c_1} \right) - \sqrt{\frac{1}{4} \left(A + a_1 \frac{c_0}{c_1} \right)^2 - \left(a_2 + a_3 \frac{c_0}{c_1} \right)},$$
 (18)

где

$$A = \frac{c_1 m_4 + c_4 m_1 + c_4 m_4}{m_1 m_4}; \ a_1 = \frac{c_1}{m_4}; \ a_2 = \frac{c_1 c_4}{m_1 m_4}; \ a_3 = \frac{c_1 (c_1 + c_4)}{m_1 m_4}; \ a_4 = \frac{c_1}{m_1}.$$

Для акализа стабильности поддержания частотного режима уравнения (4), (9) и (14) представим так:

$$\frac{a^{4} - w^{2}\beta - w^{4}}{a^{4} - w^{4}} = -b_{0} - b_{1}c_{1} = 0; \tag{19}$$

$$-\omega^2 \mathbf{b} - \omega^2 b_1 c_1 + b_2 - b_4 c_1 = 0; \tag{20}$$

$$\omega^4 - \omega^2 \mathbf{E} - \omega^2 b_1 c_2 + b_0 + b_3 c_3 = 0, \tag{21}$$

гле

$$\mathsf{E} = \frac{c_3 m_4 + c_4 m_4 + c_4 m_1}{m_1 m_4}; \; \mathsf{E} = \frac{c_4 m_1 + c_4 m_4 + c_4 m_4}{m_1 m_4}; \; \mathsf{E} = \frac{c_4 m_1 + c_4 m_4 + c_6 m_4}{m_1 m_2};$$

$$b_1 = \frac{1}{m_1}; b_2 = \frac{c_3 c_4}{m_1}; b_3 = \frac{c_3 + c_1}{m_1 m_4}; b_4 = \frac{c_3}{m_1 m_4};$$
 (22)

$$b_{3} = \frac{1}{m_{1}m_{4}} \quad b_{8} = \frac{c_{0}c_{4}}{m_{1}m_{4}}$$

Дифференцируя (19)—(21), получим выражения для коэффициента стабильности частоты:

$$\frac{d\omega}{dc} = \frac{-b_s}{c}.$$
 (23)

$$\frac{d\omega}{dc} = \frac{\omega b_1 - b_4}{2\omega^2 - \beta - c_1 b_1} \tag{24}$$

$$\frac{dc_1}{dc_2} = \frac{1}{2 \omega - E - c_2 b_2} \tag{25}$$

При равенстве этого коэффиниента пулю достигается полная стабильность частоты, т. е. частота не нависит из наменения жесткости испытуемого объекта. Решая (23)—(25) для случая полной стабиль ности, получим:

$$\omega^2 = \frac{c_4}{m_4}; \qquad (27)$$

$$\omega^2 = \frac{c_0 + c_4}{m_4} \,. \tag{28}$$

Известно, что такой режим достигается при обеспечении условий, при которых порциальные системы полностью изолированы, т. е. и инершнонная, и упругая связи равны пулю [2]. При таком режиме цостигается полная независимость характеристик испытания от свойств испытуемого объекта.

Однако, в реальных машинах, обеспечивающих испытания в широком частотном дианазоне объектов с различной жесткостью и сэтухаинем, не представляется возможным обеспечить все приведенные выше и кекоторые другие условия, при которых паринальные системы полностью изолированы. Поэтому для определения оптимальных схем и параметров машии при их разработке, а также режимов испытачия на них, при анализе по соотпошниям (23)—(25) необходимо задаться максимально допустимым, приемлемым значением коэффициента стабильности частоты.

В соотношениях (16) — (18) для определения рабочих частот оченидно, что $a_3 > a_2$, а для реальных машин $a_4 \ge a_3$. Учитывая это, анализ чазасимостей (16) — (18), а гакже 17), (12), (15), для определения коэффициента эффективности, показывает:

с уваличением жесткости пружины статического пагружения в рассматриваемых машинах частота собственных колебаний системы возрастает, а коэффициент эффективности уменьшается;

рост частоты собственных колебаний и уменьшение коэффиниента эффективности с увеличением жесткости пружины статического натружения в машинах, построенных по схемам рис. 1, интенсивней, чем в машинах, построенных по схеме тапа ВП-40 (рис. 2). Однако, частота и машинах типа Микротрон с увеличением жесткости иружины статического нагружения растет медленией, чем в РП, т. к. эквивалечтная жесткость с, при этом растет очень мало. Кроме того, введение в колебательную систему машины типа Микротрон тополинтельной системы с, т, приводит к уменьшению коэффиниента эффективност. Таким образом, по обоим показателям, машины, построенные по схеме гипа Микротрон, уступают машинам типа РП. Схема тапа ВП-40 предпочтительна при создащие машин с больними нагрузочными характеристиками, а схема тапа РП обеспечивает более высокую производительность.

ЦППППЭН пряборостроения

Поступнао 21.КІ.1978

ЛИТЕРАТУРА

- Инаекия Э. А. Эффективность возбуждения нагрузок при испытаниях на устаность обращов с большим затуханием в резоланском режиме Тр. ИНКИМИ, «Исселенование и проектирование испытательных машии, весо- и сплоизмерительных приборов», вып. Г. М., 1972.
- 2. Серенсен С. В., Гарф М. Э., Кузьменко В. 1. Тинамика машин иля испытаний на усталость. М., «Машиностроение», 1967
- 3 Больших А. С. Инаекян Э. А. Выбор элемента рационального ряда АСИП эмортизирующего устройства машии эля испытании на усталость. РЖ «Машиностроительные материалы, конструкции и расчет деталей машин», № 2, реф. 48 292. ВИПИТИ, М., 1975.

Տեխնիկական գիտութ, սեբիա

XXXII, № 6, 1979

Серяя технических плут

научные заметки

Р. Е. АКОНЯН, Я. А. АЛМАСЯН, С. Н. МАНУКЯН

ВЛИЯНИЕ РАСХОДА ТРАНСПОРТИРУЮЩЕГО ВОЗДУХА НА ДАЛЬНОСТЬ ПЕРЕМЕЩЕНИЯ АЭРОСМЕСИ

Пневмотранспорт в плотном слое [1], уменьшающий энергетические расходы на транспортирование, требует применение больших перенадов, чем транспорт в разбавленном слое. Уменьшение расхода энергия обеспечивается за счет резкого снижения удельного расхода воздуха. На практике при транспортировании наиболее приемлемым является давление, не превышающее 6 ата (компрессоры одноступенчатого сжатия), поэтому в основу наших анализов положено именно это значение.

Развитие техники и увеличение масштабов производств требуют осуществления пневмотранспорта на расстояния порядка километра и более. Одним ка способов увеличения дальности передачи являются разбавление аэросмеси дополнительным воздухом, т. е. увеличение удельного расхода воздуха и м³/кг при том же давлении P_i . Это имеет двоякое влияние — уменьшает потери на тревие, но увеличивает потери на кинетическую эпертию движущейся аэросмеси.

Выявление зависимости дальности перемещения от расхода воздуха l=f(n) проводилось по результатам испытаний с сыпучими материалами — глиноземом, пементом и аватитом. Для глинозема — K'=0.00385, $\gamma_1=920$ $\kappa r/\kappa^3$, $\gamma_2=3470$ $\kappa r/\kappa^3$; пемента — K'=0.0041, $\gamma_1=957$ $\kappa r/\kappa^3$, $\gamma_2=2900$ $\kappa r/\kappa^3$; апатита — K'=0.0044, $\gamma_3=1400$ $\kappa r/\kappa^3$, $\gamma_4=3000$ $\kappa r/\kappa^3$.

В качестве исходных данных были выбраны следующие, чаще встречающиеся параметры: диаметр трубы $D=0.05,\ 0.08,\ 0.1,\ 0.125\ м;$ давление транспортирования $P_1=50000,\ 60000,\ 70000,\ 100000,\ 150000\ \kappa \varepsilon/m^2.$

С целью определения l=f(n) на основе математических моделей (мод. 1 и 2) были составлены и реализированы на ЭВМ «Напри-2» программы на алгоритмическом языке «ап», позволяющие рассчитать все возможные варианты гранспорта для всех исходных данных.

$$KV_{1}^{0.5} \gamma_{1}^{1.28} I = (1-\varphi_{1})P_{1} \left(\frac{t_{0}^{4}}{t_{0}^{5} - \varphi_{1}} - \frac{t_{0}^{4}}{t_{0}^{5} - \varphi_{1}}\right) + \frac{(1-\varphi_{1})P_{1}}{\varphi_{1}^{0.2}} \times \\ 1.84 12 \frac{t_{0}^{2} - \varphi_{1}^{2}}{t_{0}^{2} - \varphi_{1}^{2}} = 0.618 \varphi_{1}^{0.2} t_{1}^{2} + \varphi_{1}^{0.4} - 0.618 \varphi_{1}^{0.2} t_{1}^{2} + \varphi_{1}^{0.4}$$

$$= 1.489 \operatorname{ig} \frac{t_{n}^{2} + 1.618 \, \varphi_{1}^{0.2} \, t_{n}}{t_{n}^{2} + 1.618 \, = - \varphi_{2}^{0.3}} + \frac{1.52 \, (1 - \varphi_{1}) \, P_{1}}{\varphi_{1}^{0.2}}$$

$$= \left(\operatorname{arctg} \frac{t_{n} - 0.309 \, \varphi_{1}^{0.2}}{(t_{1}951 \, \varphi_{1}^{0.2})} - \operatorname{arctg} \frac{t_{n} - 0.309 \, \varphi_{1}^{0.2}}{0.951 \, \varphi_{1}^{0.2}} \right)$$

$$= \frac{0.94 \, (1 - \varphi_{1}) \, P_{1}}{\tau_{n,2}^{0.2}} \left(- \frac{+ 0.809 \, \varphi_{1}^{0.2}}{0.588 \, \varphi_{1}^{0.2}} - \right)$$

$$= \operatorname{arctg} \frac{t_{n} + 0.809}{0.588} \right) = \frac{V_{1}^{2} \, \gamma_{1}}{1.78 \, g} \, (t_{n}^{n,9} - t_{n}^{8.6}).$$

The $\begin{aligned} I_{n} &= \left[\begin{array}{ccc} \varphi_{1} + \left(1 - \varphi_{1}\right) \frac{P_{1}}{P_{n}} \right]^{0.2}; & t_{k} = \left[\begin{array}{ccc} \varphi_{1} + \left(1 - \varphi_{1}\right) \frac{P_{1}}{P_{k}} \right]^{0.2}; & u_{\min} = \frac{\gamma_{T} - \gamma_{T}}{\gamma_{T}\gamma_{T}}; \\ I_{1} &= \frac{1}{n\gamma_{T} + 1} \cdot I_{1} &= I_{1}T, & V_{1} = \frac{G}{0.785 D^{2}}, & K = \frac{K}{D^{0.71}}; \\ L &= 2.3 \cdot n P_{1} \lg \frac{P_{1}}{P_{k}} + \frac{1}{1} \left(P_{1} - P_{k}\right). \end{aligned}$

Модель 2.

$$\begin{split} \frac{D}{D} &= (-\frac{1}{4}) \frac{1}{t_{11}} - \frac{1}{2} \frac{1}{t_{21}} \\ &= (-\frac{1}{4}) \frac{1}{t_{11}} + 0.5686 \log \frac{t_{21}^{2} - 0.618 \, \varepsilon_{11}^{0.2} \, t_{11} - \varepsilon_{11}^{0.4}}{-0.618 \, \varepsilon_{11}^{0.2} \, t_{11} - \varepsilon_{11}^{0.4}} \\ &= -1.489 \log \frac{t_{21}^{2} + 1.618 \, \varepsilon_{11}^{0.2} \, t_{21} + \varepsilon_{12}^{0.4}}{t^{2} - 1.618 \, \varphi_{11}^{0.2} \, t_{21} + \varepsilon_{11}^{0.4}}) + \frac{1.52 \, (1 - \varphi_{1}) \, P_{1}}{t^{2} - 1.618 \, \varphi_{11}^{0.2} \, t_{21} + \varepsilon_{11}^{0.4}}) \\ &= \left(\arctan \frac{t_{11} - 0.309 \, \varepsilon_{11}^{0.2}}{0.951 \, \varphi_{11}^{0.2}} - \arctan \frac{t_{11} - 0.309 \, \varphi_{11}^{0.2}}{0.958 \, \varphi_{11}^{0.2}} \right) - \frac{0.94 \, (1 - \varphi_{1}) \, P_{1}}{0.588 \, \varphi_{11}^{0.2}} \right) \\ &= -\arctan \left(\frac{t_{11} - 0.809 \, \varepsilon_{11}^{0.2}}{0.588 \, \varphi_{11}^{0.2}} \right) - \frac{1.78 \, g}{1.78 \, g} \end{split}$$

где

$$t_{0} = \left[\varphi_{1} + (1 - \varphi_{1}) \frac{P_{1}}{P_{0}} \right]^{0.2}; \quad t_{K} = \left[\varphi_{1} + (1 - \varphi_{1}) \frac{P_{1}}{P_{K}} \right]^{0.2}$$

$$n_{\min} = \frac{\gamma_{T} - \gamma_{1}}{\gamma_{T} \gamma_{1}}; \quad \varphi_{1} = \frac{1}{n \gamma_{T} + 1}; \quad \gamma_{1} = \varphi_{1} \gamma_{T}; \quad K = \frac{K'}{D^{0.71}};$$

$$V_{1} = V_{KP} = 1.84 + 13 D_{1}; \quad V_{1+1} = V_{1} \left[\varphi_{1} + (1 - \varphi_{1}) \frac{P_{1}}{P_{1+1}} \right];$$

$$G = 2.826 V_1 D_1^2 \varphi_{111}^{\alpha_1}; D_{t+1} = 1 \overline{A_1 + B_1} + \sqrt[3]{A_1 - B_1} - \frac{a}{3}$$

где

$$A_{1} = -\left(\frac{a^{3}}{27} + \frac{C}{2}\right); B_{1} = \sqrt{\left(\frac{a^{3}C}{27} + \frac{C^{2}}{4}\right)};$$

$$C = -D_{1}^{2} \cdot V_{1-1}/13; a = 1,84/13.$$

Модель I выведена при постоянном днаметре трубопровода [2], а модель 2 — при ступенчатом наменении диаметра [3], на основания совместного решения уравнений движения двухфазных гетерогенных потоков транелорта.

По первой модели задача решается сразу, однозначно. Во втором случае вся трасса была разбита на несколько участков (ступеней). Исхоля по значения начального давления, принимаем, что на каждом участке грубопровода перепад давления составляет 5000 кгля-, а при б лышку шачениях начального давления — 10000 кг/м2. Такая разбинка для расчета общей длины трассы обеспечивает достаточно оптимальное число ступскей,

Результаты расчетов обобщены и таблице. Здесь с объемная концентрация смеси: G= гроизводительность установки; $D_{\text{или}}$, $D_{\text{или}}$, $D_{\text{или}}$ днаметры первой я последней ступеней, /- общая длина трассы.

G , л. 10¹, К-во Deser .N2 .K1 $D_{\rm kinto}$ I, Материал N3 KJ ступеней $0.215 \\ 0.12$ 0,0741 0,0792 0,79 Глиновем 16,2 277 2 0,05 833 4 1 4 0,068 0.0814 1930 16,8 0.072 Цемент 0.7 0.33 232 8.2 $\frac{0.16}{0.08}$ 0,017 0,081 696 1866,2 0.05 Апатит 24, F 0.38 11,467 0,067 114.2 2 0.14 0,05 0.078 766,6

Таблица

Для расчетов принято, что скорость движения аэросмеси в началс каждой ступени равна критической $V_{\rm i}=V_{\rm kp}=1.84+13\,D$ [4].

Скорость V_1 в конце периой ступени диаметра $D_1 = 0.05$ м определялась по уравнению [4]:

$$V_1 = V_1 \left[\varphi_1 + (1 - \varphi_i) \frac{P_i}{p} \right].$$
 (1)

Для рассмотренного примера $P_i = 5$ ara, P = 4.5 ara

В начале второй ступени скорость движения бралась критической, поэтиму для определения D_a использовали соотношение:

$$D_2^2 V_1 = D_2^2 V_{a \text{ kp}} \tag{2}$$

rae

$$V_{a \text{ NP}} = 1,84 + 13 D_a. \tag{3}$$

На уравнения (2) и (3) получаем:

$$D_1^2 V_1 = D_2^2 (1.84 \pm 13 D_6)$$

MAH

$$13 D_2^3 + 1,84 D_2^2 - D_2 V_1 = 0. (4)$$

Уравнение (4) имеет один деиствительный корень

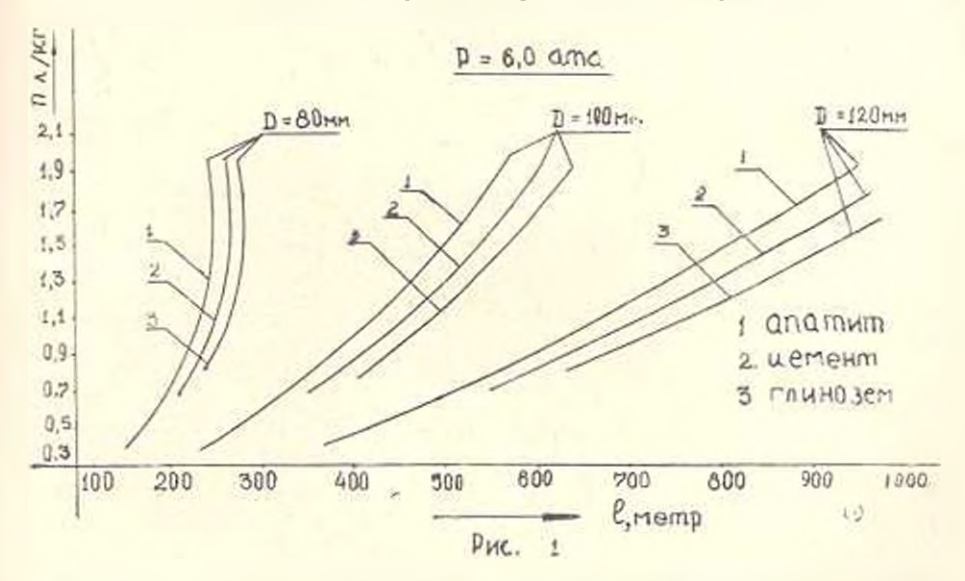
$$D_{n} = \frac{1}{1} A_{1} + B_{1} + \frac{1}{1} A_{1} + B_{1} + \frac{a}{3}$$
 (5)

FAC

$$A_1 = -\left(\frac{a^2}{27} + \frac{c}{2}\right); \ B_1 = \sqrt{\frac{a^2c}{27} + \frac{c^2}{4}}; \ c = -D_1^2 \ V_1^2/13; \ a = 84/13.$$

Ланну участка t_i определили по мат. модели.

Так же вычисляли диаметр и длину остальных ступеней.



Анализ данных показывает, что одним из путей увеличения дальности передачи является увеличение расхода воздуха. Например, при минимальном расходе воздуха, определяемом

$$n = \frac{1}{3\pi 3_1} \tag{6}$$

и лавлении $P_*=50\,000~\kappa_2/m^2$, длины передач составляют, соответственно, 277, 232 и 144,2 м для глинозема, цемента и апатита (таблица). Увеличение расхода воздуха в нять раз приводит к увеличению длины передачи, например, для глинозема, до 1930 м (т. е. в семь раз). Такая же картина наблюдается при постоячном диаметре трубы (рис.).

На основании приведенных исследований, для указанных материалов (многотониажных, часто встречающихся на практике) методом экстраноляции можно установить необходимый оптимальный расход воздуха для данной длины трассы.

ЕрПИ им. К. Маркса

Поступило 13.IV.1979

ЛИТЕРАТУРА

- 1. Гаспарян 1. М., Акапян Р. Е. Писимотранспорт мелколисперскых материалов в плотном слое. Химическая промышленность» 1965. № 7.
- 2 Гаспарян А. М., Акапян Р. Алмасян Я. А. К расчету горизоптального перемешения аэросмесей. «Папестия АН АрмССР (серия Т. Н.)», т. XXIV. № 3, 1971.
- Биспарям А. М., Акопям Р. Е., Алмасям Я. А. Пути увеличения дальности передачи аэросмесен при иневмотранспорте в плотном слое, «Присстия АП АрмССР (серия Т. П.)», т. XXVI, № 5, 1973.
- 4 Гаспарян А. М., Аконян Р. Е., Алмасян Я. А. О скорости и плотности зэросмесей при пи-вмотранспорте в плотном лос. «Павестия АН АрмССР (серия Г. Н.)», т. XXIV. № 2, 1971.

2018 ЧИЛИ В В СТИЯ АКАДЕМИИ НАУК АРМИНСКОЙ ССР

Տեխնիկական գիտուր, սեբիա

XXXII. Nº 6, 1979

Серия течн ноук

научные заметки

M. II. HETPOCHE

ПРИЛОЖЕНИЕ ТЕОРИИ МИКРОТРЕЩИИ В ИНТЕРИРЕТАЦИИ ПРОЦЕССОВ, ПРЕДШЕСТВУЮЩИХ ВЗРЫВНОМУ РАЗРУШЕНИЮ ТЕЛА

В настоящее время разрушение деформиру мых сред варыном расематринается как явление, которое наступает под воглействием вэрывной волны при достижения предела прочности материала. Ввиду такого традиционного подхода представляется, что процессы, связанные с действием парына, на которые затрачивается время, не существенны, и само разрушение наступает критическим образом. Эксперименты, на которых основывается это представление, выполнены на оптически экгивных материалах (эпоксидная смола, плексислас, стекло и др.1, которые ввиду особых механических свойств не обеспечивают подобия межау натурой и моделью. Другим существенным недочетом является ограниченная способность применяемой аппаратуры так, например, регистрация, осуществляемая с помощью скоростного фоторегистратора тина СФР-1, длится не более 100 мм, которое значительно меньше периода разрушения тела. При этом не обеспечивается качество регистрации картины разрушения, ввиду ее размазывания лучами предыдущего кадра. Поэтому во многих работах, посэященных исследованию кинетики разрушения, приняты допущения, согласно которым темные зокы на кадрах отнесены за счет разрушения в макроскопическом объеме, несмотря на отсутствие видимых трещин. Это послужило основанием для разработки ночых способов фиксации напряжений, возникающих при варыне [1], и регистрации трешин в оптически неактивных материалах, какими являются горные породы, бетон и др. [2].

Автором выполнено экспериментальное исследование кинетика разрушения различных материалов, в частности, горных пород взрывом [3]. Соотношение скорости распространения трешин в среде V_p к скорости продольной полны C_p равиялось

$$\frac{V_{e}}{C_{\rho}} = 0.0168 + 0.0369,$$

а соотношение скорости расширения трешины V к скорости поперечной волны C ,—

$$\frac{1}{C_1} = 0.0022 \div 6.0092. \tag{1}$$

Соотношение (1) и кадры скоростной регистрации трещинообразо-

2018 ЧИЛИ В В СТИЯ АКАДЕМИИ НАУК АРМИНСКОЙ ССР

Տեխնիկական գիտուր, սեբիա

XXXII. Nº 6, 1979

Серия течн ноук

научные заметки

M. II. HETPOCHE

ПРИЛОЖЕНИЕ ТЕОРИИ МИКРОТРЕЩИИ В ИНТЕРИРЕТАЦИИ ПРОЦЕССОВ, ПРЕДШЕСТВУЮЩИХ ВЗРЫВНОМУ РАЗРУШЕНИЮ ТЕЛА

В настоящее время разрушение деформиру мых сред варыном расематринается как явление, которое наступает под воглействием вэрывной волны при достижения предела прочности материала. Ввиду такого традиционного подхода представляется, что процессы, связанные с действием парына, на которые затрачивается время, не существенны, и само разрушение наступает критическим образом. Эксперименты, на которых основывается это представление, выполнены на оптически экгивных материалах (эпоксидная смола, плексислас, стекло и др.1, которые ввиду особых механических свойств не обеспечивают подобия межау натурой и моделью. Другим существенным недочетом является ограниченная способность применяемой аппаратуры так, например, регистрация, осуществляемая с помощью скоростного фоторегистратора тина СФР-1, длится не более 100 мм, которое значительно меньше периода разрушения тела. При этом не обеспечивается качество регистрации картины разрушения, ввиду ее размазывания лучами предыдущего кадра. Поэтому во многих работах, посэященных исследованию кинетики разрушения, приняты допущения, согласно которым темные зокы на кадрах отнесены за счет разрушения в макроскопическом объеме, несмотря на отсутствие видимых трещин. Это послужило основанием для разработки ночых способов фиксации напряжений, возникающих при варыне [1], и регистрации трешин в оптически неактивных материалах, какими являются горные породы, бетон и др. [2].

Автором выполнено экспериментальное исследование кинетика разрушения различных материалов, в частности, горных пород взрывом [3]. Соотношение скорости распространения трешин в среде V_p к скорости продольной полны C_p равиялось

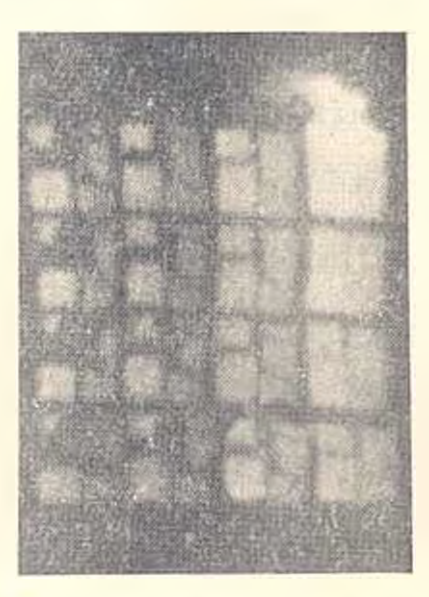
$$\frac{V_{e}}{C_{\rho}} = 0.0168 + 0.0369,$$

а соотношение скорости расширения трешины V к скорости поперечной волны C ,—

$$\frac{1}{C_1} = 0.0022 \div 6.0092. \tag{1}$$

Соотношение (1) и кадры скоростной регистрации трещинообразо-

вания (рис. 11 достаточно убедительны для кардинального вывода: основным агентом изрывного разрушения горных пород груды) в макро-коническом объеме являются продукты детонации заряда, а течение самого процесса квазистатическое.



Рас. I. Калры трещинообразовалия при угране — мальте. Вуемя эксполиции калол 20 чкс. интерпал временя эсжду колрами 300 чкс.

В работе [4] показано, что долтовечность породы (временной ин-Гервал, отделяющий момент разрушения от пачала приложения варыеной нагрузки) при лабораторном испытании равня 140 ÷ 630 мкс на относительном расстоянии 7 + 35 радиусов заряда. Минимальная ширина трещины, зарегистрированиая на поверхности исследуемого объекта, равна 0,25 мм. Это означает, что разрушению тела в макросковическом объеме предшествует пронесс микроразрушений. обусловленный действием взрывной волны. В настоящее время фотографическая регистрания этого процесса не представляется возможным, поэтому с целью его интерпретации была приялечена теория микротрещии [5].

Максимильное напряжение знах возникающее при азрыве, является функцией от прочности материала

$$z_{\rm max} = \frac{1}{2} (R_{\rm ep}).$$

С помощью оригинального способа фиксании попряжений, возникающих при прохождении взрывной полны, установлена зависимость - п. — R (рис. 1), математическая интерпретация которой имеет вид:

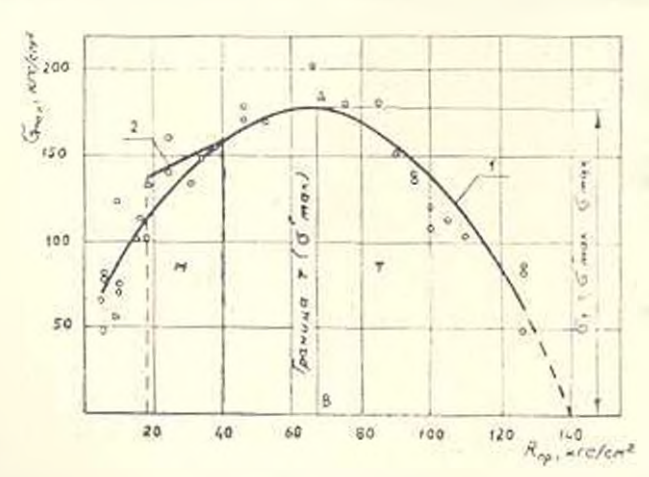


Рис 2 Заиксимость максимальных плиряжений от прочности эканиалентного материвла M= область моделирования, T= область микроразрушения.

$$a_{\text{max}} = 51.16 + 3.87 \ R = -0.03 \ K_{\text{in}}^2.$$
 (2)

Ре истрацию σ_{max} осуществляли с помощью глубинных датчиков, устанавливаемых в эквивалентном материале (табл. 1) при постоянном относительном расстоянии $r/r_o=40$ (r— расстояние места регистрации от гаряла, $r_{\rm s}$ — радиус заряла). Из рис. 2 видио, что при призменной пр чности митериала $R_{\rm up}=67~\kappa sc/cm^2$ регистрируется рост амплитуды $\sigma_{\rm max}$, а когда $R_{\rm up}>67~\kappa sc/cm^2$, наблюдается затухание $\sigma_{\rm max}$. С увеличением $R_{\rm up}$ от 67 до 127 $\kappa sc/cm^2$ величина затухания $\sigma_{\rm m}$ — равиа 117 $\kappa sc/cm$ — что, по-видимому, связано с процессом нозникновения микротрещии. В области, расположенной левес линии AB (рис. 2), с рос том прочности материала напряжения увеличиваются, т. к. растушие микротрещины отсутствуют, а правес — постоянное затухание илиряжения бусловлено увеличением объема микроразрушений. Значение напряжения $\sigma_{\rm q}$ — соответствующее границе области образования микротрешии, определяется величиной спада максимального напряжения на выражения

где $\sigma_{m_1}^{\Gamma}$ — и σ_{max} — соответственно, значения максимальных напряжений на границе области образования микроразрушений и при принятои прочисти материала.

Таблица / Состав эквиралентного материала

No 0 #1	Митериал	Весовое соозношение нердых компонентон. 4 го
	Молотый черный мра-	70
,	мор Пусунные опилки Премена	22
-	Количество нозы от не-	8
	TOB	1

$$z_T = z_{\text{max}}^c - z_{\text{max}} \,. \tag{3}$$

Нь рис 2 пунктирными линиями пыделена область моделирования взрывьой отбойки, обеспечивающая достаточные и необходимые условия подобия между материалами натуры и модели. Зависимость $\sigma_{\max} = R_{np}$ в этой областа выражается кусочно-линейной функцией

$$4_{\text{ina}3} = 117,04 \pm 1,03$$
 (4)

которая графически показапа ливней 2.

Вычисленные значения a_i из выражения (3), соответствующие принятой прочиости материала $R_{\rm ap}$, представлены и габл. 2.

Граница образования микроразрушений (рис. 3) определена на основании данных табл. 2, соглясно которой соотношение $\sigma_i/R_{\rm пр}$ пропорционально увеличению прочности материала.

Таким образом, долевое участие взрывной волны при отбойке руды, в основием, связано с микроразрушениями. Этот ичкубационный

							Таблица	2
Граница	образования	микротрещии	при	изрыве	n	эквипален-ном	материяле!	

R _{пр} , кгс с.и ²	70	80	90	100	110	120	130
г _т , кгс/с.и ³	1	18	30	47	72	101	141
$\frac{r_{\rm r}}{R_{\rm np}}$	0.01	0,22	0.33	0.47	0,65	0,81	1,08

процесс имеет место задолго до разрушения среды, в которой производится взрыв. Между периодом инкубации микротрещии и началом их

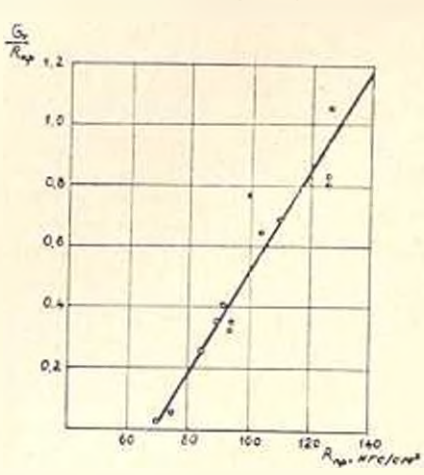


Рис. 3. Гранава образования миквотрешин при взрыве в блоке эквивалентного материала,

лавинного роста выделяется значигельный интервал, в течение которого происходит укрупнение заролышевых трещии. Несмотря на то, что роль взрывной волны при дроблении руды выглядил сущестскромиее, экспериментальосциялограммы показывают, что возможно истечение вместе с волной около 50% энергии взрыва. значительный Поэтому интерес представляет исследование последствия взрывной волны на устойчивость вмешающих пород в сиязи с разубоживанием руды.

В результате яыполненного исследования установлены две стадин

разрушения леформируемых сред взрывом: стадия разрушения в микроскопическом объеме, обусловленная динамическим воздействием взрывной волны; стадия разрушения в макроскопическом объеме, обусловленияя квазистатическим действием образовавшихся газов. Это означает, что основным средством понышения полеэной работы взрыва в горных породах является увеличение периода квазистатического действия взрыва, а техническим средством достижения этой цели применение взрывания веществ с умеренными детонационными свойствами, выделяющих сравнательно большое количество продуктов детонации, применение короткозамедленного способз взрывания и конструкции зарялов, рассредогоченных воздушными промежутками.

Арминпроцветмет

Поступило 10.IV.1979

ЛИТЕРАТУРА

 Бронников Д. М., Замесов И. Ф., Петросян М. И. Моделирование изрышной отбейки с фиксацией навряжений в любой точке модели. Со. «Проблемы разрушения горных пород и совершенствования технологии разработки месторождений полезных ископаемых» М., «Наука», 1969.

- Петросин М. И., Гаспарян Т. Г. Об одной методике моделирования разрушающего действия взрыва на гориме породы. Научи. сообщ. Арминироцветмета, вып. 23, Ереван, «Айастан», 1978.
- 3. Петросян М. И. Установление скорости роста трещины при варыяс в горных породах. «Промышленность Армени», 1979, № 8.
- 4 Петросян М. И. О связи взрывной волны с разрушением горных пород. «Павестия АН АрмССР. Наука о Земле», 1979, № 1.
- Берг О. Я. Физические основы теории прочности бетопа и железобетона. М., Госстройнадат, 1961.

2 ИЗЧИЧИ В ВЕСТИЯ АКАДЕМИИ НАУК АРМЯНСКОЯ ССР

Տեխնիկական գիտութ, ոեբիա

XXXII, № 6, 1979

Серия технических наук

РЕЦЕНЗИЯ

СВАППДЗЕ Г. Г. Математическое модемирование гидрологических рядов. Л., Гидрометеоиздат, 1977, 296 с.

Вышла в свет монография доктора технических наук, профессора Г. Г. Свазилае: труд, имеющий пажное значение для овенки изменчивости многолетнего за внутригодового колебаний речного стока применительно к водноэнергетическим и водохозяйственным расчетам гидротехнических объектов

С каждым голом в нашей стране расширяется объем гидрологических исследоваинй, являющихся олим из разделов науки о лемле. Это обусловлено все более интенсивным использованием водных ресурсов и различных отраслях народного хозийства, полному в последнее время математическое моделирование гидрологических
рядов элементов водного баланса нашло широкое применение при решении многочисленных задач При этом следует отдать должное проф. Г. Г. Сванидзе, являющемуся одним из инициаторов в этой области. Благодаря многосторониим теорет-ческим
и эксперкментальным исследованиям, проведенным под непосредственным руководством и при участии проф. Сванидзе Г. Г. эта методология получила широкое практическое применение. Автор мощографии последовательно, и исхоля из прикципов рашно
нального и комплексного использования водных ресурсов, рассматривает широкий
круг изанмосвизанных вопросов математического молелирования гидрологических
рядов.

Монография проф. Г. Г. Сванидое является обобщением исследований автори за последнее лесятилетие. В ней обстоятельно проведен объективный анализ имеющихся до сего премена почти всех методов молелирования искусственных гидрологических рядов, на работанных в нашей стряне и за рубежом Большое внимание уделено решению таких актуальных вопросов, как моделирование гидрологических рядов с учетом внутригодового ряспределения, моделирования наволочного стока, рассмотрение колебаний речного стока с номощью многозвенной цепи Мархова и т. д.

Монография имеет богатую баблиографию, охиатывающую около 500 работ советских и зарубежных авторов, что поможет читателю легко сориентироваться при работе под улкими вопросоми.

Автор все премя поддерживает творческий контакт с применении специалистоми и оказывает определенное влияние на разватие и применение метолов математического молелирования при решении различных волноэмергетических и волохозяйственных задач, возникающих в пяшей республике. С этой точки эрения мовая работа проф. Г. Г. Сванилзе илидет спою дальнейшую научную и практическую реализацию и Армянской ССР.

Хочется отметить хорошее оформление издания, которое может стоть пастольной контой для гидрологов, гидрологов, гидролехинков метеорологов, гидромелиораторов и др.

Доктор техн наук Е. Л. САФАРОВ, канд. техн наук М. С. ПЕТРОСЯН

8 N 4 U & 4 U U U U B P 3 N b Y

«ՀՍՍՀ ԳԱ տեղեկագիբ (տեխնիկական գիտությունների սեբիա)»

ճանդեսի 32-ւդ ճատուի

สากรสสกอสรมสาย

IŁ.		Գուգուկյան, վ. հ. Անգրևե։ **** ֆրեգհերով Երեգերժան պրոցծոր գինա-	
		միկայի ուսումնասիրումը	2-19
U.	U.	հոտլան, Գ. Ս. Մաբախրոսյան, Ա. Վ. Խեչումյան, Ս. Գ. Հովնաննիսյան։ <i>Ֆրհ</i> -	
		զերային Հաստոցների դինաժիկական Համակարդի կայունության խնդրի լուժ-	
		ման որոշ առանձնամատկությունների մասին	1-3
11,	P.	հաշատոյան։ Տրված ժամանակամիջոցում ավառմերննայի շարժման կայու	
		հության ժասին, երբ Հայվի է առնվում ավտոցողերի կողային առաձգակա-	
		briffing	2- 9
ŋ.,	Ъ.	հությունը	
		Հեղուսավոր միացման վրա	4-11
B.	4	Համբաբձումյանց։ Երկու ֆուեկցիաների Տեղոզակ ատաժետծակավոր գեներա-	
		սարի նակապետանը	6-3
B,	11,	Մաստիսոսյան։ Տեսակարար Հեշման բաշխումը բեռևանափված ուղղորդների	
		4рш	5-3
Į.	U.	Մխոլան Ուժալին պարաժնարնրի որոշումը լայնական-պառշատկային գլան-	
		հան հրկգլանման մաստոնի վրա պարկունների անգրամասման դեպրում	2— J
11,	11.,	Մնջոլան Հրկանյութարդանևորար ժշակման դեպքում բանվորական խառևուրդի	
		չարժման հետացծի հավասարումը	2-23
Π·.	۹.	Landwoods: Swaggary Abharbhydbhah dh Cadaladet danha	2-13
		Ջավախյան: Uhdl.apht երկյուսավիկ ժեխանիդժների վերլուժման և սինքերի	
		handijunghuih delan	3 _ 3
Ъ.	4.	նլելնիկ, Մ. Դ. Ստակյան, Ս. Հ. Գասպառյան Լիսեռեերի գիժացկունության	
	4.	նարվարկային դնանատումը դիկլային ծոումով և ստատիկ ոլորումով բեռնա-	
		վարելու դեպքում	1- 3
h.	d.	Սլելնիկ, II. Գ. Ստակյան։ Հոգևաժային վճասվածըների կուտակումը յարաւժ-	
		իրուաբարա մայիլումականական մահրագլագլ և մանկատուի դրևն	3-11
d)	1.	Ուլով, Հ. Ռ. Սաղարելյան։ <i>Կիպա</i> եզկիչ սկավառակի թանվորական մակերևույքի	
		վրա ուլարաձալևային տատանումների ամպլիտուդի րայիումբ	5-11
		the relational and a state and the said	
		ՄԵՏԱՂԱՐԻՏՈՒԹՅՈՒՆ	
u.	II.	Արյասումով, Ի. Տ. Չոլոտովաին, PGM5 արադանատ պողորատի ժակերևույնին	
		կատեղված տիտանի թաղածիի ժետաղադիտական ուսումնասիրությունը	3-31
U.	q.,	Մազդրե, 8. 8 Միրասյան։ Քարակ պինդ մարժինենրի շերքափակցման նաա-	
,		ղատումը մնաազների մեջ	3-19
11	11	հիպարիսով, Ա. Պ. Պանկեիչ, Լ. Հ. Գասպարյան։ <i>Բարձր ջերմաստինանի ազ-</i>	
	411	դեցունկունը W + 2' Y ₂ O ₂ վեկտրողային հյունի կառուցվածքի և չանագործ-	
		ման կայունակիան վրա	3-26
		made destructional dim c	
		265.HOROMENS, WELLIS.MAI	

ՇԻՆԱՐԱՐԱԿԱՆ ՄԵԽԱՆԻԿԱ

Ս. Ս. Գաբլինյան, Հ. Ե. Սարգույան։ Կառուցվածջների սելոժակայունության հայվարկի ժասին առաձգապլաստիկական դեֆորժացիաների և լերտավոր Դիժջի

		գլուրափոփոխնլիության Հայվասումով	523
Щ.	u.	, Համբաբձումյան։ Հարկասային չենրերի աղատ ոչ զձային տատահումների	
		ծների ու համախականությունների որոշման մի մեքիոցի մասին 🗼 🦠 🔌	2428
Ļ.	Ψ.	Պետբոսյան, Ս. Գ. Ռուբահովիչ։ «Ճկուն կաժար-կոյտ հեծան» համակարգի ա-	
		դատ ատասնումները , , , , , , , , , , , , , , , , , , ,	4-00
U.	0,	Hubuljus, 3, b. Augurjub: Inguneflust apprehed to duppy supplied pupa-	-
		րանարկ շենրինի նաշվարկը նորիզոնական գինաժիկ ազդեցության տակ	5-3
		131.001.011.11	
		<u> Էհ</u> հՐԳԵՏԻՈՍ.	
n.	П	Ավիրիկյան, Ի. ի. Շաբարիանյան։ <i>Էներդամիավորումների մեջ մտնող</i> վենը	
***	4311	գանամակարգերի հաստատված ռեժիմի հաշվման ալգորինվի մասին	2-3
ŧī.	b.	Հակորյան, Լ. Ա. հորմալյան։ <i>Բարդ դաղատրակապորտալին համակարդի պա</i> -	
		րաժետրերի օպտիժալացժան իսեցրի ժակենատիկական ժողելը անալողա-	
		Admitte Smooth; Swamphah og'saftgudp	110
U.	11.	. Հատությունյան։ Էլեկտրական համակարգերի հաստատված ռեժիմների հայ-	
		վարկներում քիրրիդային մատրիցայի կիրառման վերաբերլալ հետագոտու-	
		<i>րյուններ</i>	1=8
		էլեկseushենինև	
	1.		
Ч.	U.	Ազատյան, Յուղային արանոֆորմատորինիի դյանաձև բաղմաշնյա փաթույններ ըսմ առավել տաբացած կնաի դիրթի և ջնրմաստիճանի որոշման մասին	1-11
ıl.	q.	րիլլուդրվերոց։ թյանակատետնիր հերրհատանի, սետրո միկավահղար ձենրվակ	1100
٦,,	F-	կայուներիան արաջման վենեց	1-8
		dmionthing alusiana askult	
		ՀԱՇՎՈՂԱԿԱՆ ՏԵԽԽԹՈ	
\mathfrak{t}_{L}	*	Արբանամյան, Ա. Հ. հառապետյան, Լ. հ. Յաղթյան։ Ինջնաքիոների չարժման	
		չվաղուցակի կատարման խնդիրը	268
Դ.	η.	Blauchjade հյման ինվորմացիայի և գործիրային սխալների ազդեցության Հե-	
		ատանույլը կաժիսահավանիր մամադայան օսնակվան արգիզանիր առանագրա-	4.4
		րերի մայվարկի ճշատվելաև վրա	3-25
Ή.	П	Մելքոնյան, Ա. Ա. Ղազաբյան։ Անցոզիի պրոցեսի կորի անքավասարայան Հարվումներով Հանախական բնուքազրերի մաշվարկային իկային ժեկող	1-0
ЬI			128
		Սողույան, Լ. Հ. ժավմաբյան <i>ավերայա և Միացյալ համակարդի էլեկարոհայի</i> ն	
<i>r</i> .	ш.	հայվի, մեցենանների ռամատեղումն ըստ մուտքի	I-E
		Amidis arbitoments amountained from annexity	
		ՉԱՓՈՎԱԿԱՆ Տոհանժմ	
0.	n.	Գասպառյան, Գ. Գ. Եղիազառյան։ <i>Բաղժակապ Տետեռը ճամակարդերի դիհաժք</i> (
		Ֆլզրաայիկան մասին	168
ķ.	U.	Սանակյան։ Բարձրացույն կարգի նվագարկիլ սարջերում շարժաբեր մեխանիզ-	-
		մի էլձկարաշարժիլի Բրթոամեկուսացումը	2-33
U.	S.	Սարդսյան, Վ. Ն. հերսեսյան, Գ. Հ. Մելքումյան։ Արկչայելի անտենայի ղեկա-	+ 11
		վարող մանդույցի մարքակի կայունացման մամակարգի նախագմումը	1-il
۹,	H.	Վասդանյան։ Ճելժան դիֆերենցիալ βորոդիական ռնվոնատորային Հայտնիչներ	- 114
		ՁեբՄԱՏՆԽՆԵԿԱ	
		Kat a granninger	
q.,	U.	Մեկիք-Արավերդյան, վ. Ա. Տերյան, Լ. Բ. Տեր-հագարով։ <i>Զերժակայունությա</i> ն	
		փորձարկման իցերի տեսակի և չափերի ընտրությունը	3-33

n.	h,	Հակոբյան, Ս. Ն. Մանուկյան։ Խիտ շերտով պեհաժոտեղափոխման ժամանակ	
		չարգար ժանգարնի ահամազան վիջարաժար արութեի օժատանանգրագե	334
u.	IJ.	Հակոթյան, 8, Հ. Ալվասյան, Ս. Կ. Մանուկյան։ Օգի անհրաժեշտ դահակի որո-	
		լումը խողովակալարի տրամագծի աստիճահական փոփոխումով պեհմոտրանս-	453
D.	U.	պորտի նախագծման դեպքում	433
	***	պենժուղանագորտի ժամանակ	1-62
		209008166640	
U.		Uluujul: Thinninghab inagad dinaumintoquipafined captigationfine apticult	
11	**	աշխատանքի դեպրում	2-27
11,	EL.	Montjut: Apartialityand myminidaryffithpl: Shipapunghat Sungad zwoddut	0 11
	5	դինաժիկայի որոշ հարցեր հաջատոյան։ Գծային դատավորված ջրերբերի հայվարկը բառաչերա ֆիլտրա-	6-13
		անալույաց, լջայիս վասուժակար չելունսեն բանարեն հասանորը Ֆևնջևը.	2-31
		\$600 -61-1-Nini-	
		ԴԻՏԱԿԱՆ ՆՈՒԵՐ	
EL., I	1.	lawhilm. Swigh imagazighteph womhawbudapacie phablesh abuhushi squ-	
16.	11	րավելան կոմպենսավորման դեպրում . Ավհաիսյան, Է. Մ. Ազալաայան։ <i>Ապակիսլյաստ-բեառեային էլիաննաների</i> ՝ ըստ	5-11
16.	11.	րեֆորմացիայի հայվարկի ուսահձևահատկությունների մասին	4-41
1	ß,	Բաղղասաբյան, Ա. Մ. Արդումանյան Գունավոր ժետաղների ընդհատումներով	7-41
		արվան ժամանակ ապարմակ ապարաժետրերի որոյումը	.1-53
TE.	2.	Ռազդառաբյան, Ա. Մ. Աբզումանյան, Վ. Բ. Վաբդիկյան, ՀՀԳԴ Համակարգի	
		երիստաները մարուր չրջատյման դեպրում	5-49
8	ù.	Phi. B. b. bipridimi: Abu, quaf to objidate sudap oquadapodan fatu-	
		րոնախույս կոմպրհսորի հոսցային մասի թերմադադադինամիկական հաշվար-	
	D	if it is the state of the state	5-52
•	IJ.	Դիլանյան, Հ. Կ. Աստաբագյան Հաջորդական գրգոման չարժիչներով էլեկարո- մորիլի շպաիմալ կառավարման Հաշվարկի այցորիկմը	2-52
	11.	ինակկյան։ Հոդնածային փորձարկումների համար ռեղոնանսային ժերենաների	1-00
		ոխնվաների և պարավնարերի օպարվալ բնարությունը	6 - 32
L	П.	հաշտոգետյան, և, Հ. Գոիգույան, Ա. Ո. Սաոգայան։ <i>Թոդարկման սեժիմում</i>	
		ւրա մարադական վերամիարձի գինաժիկայի հետազոտումը արտակենտրոն տե-	
		amalagang beat popular gangangang	3 60
		հասապետյան։ Շինարարական կալմային վերամրարձների որսող մամակար-	
		գերի կիևնժատիկան և դիևաժիկան	418
		Հակրբյան, 3, 2, Ալմասյան, Ս. Ն. Մանուկյան։ Տեղափոխող օգի ծախսի ագ- գնցությունը օդային խառևուրդների փոխադրման Յնուսվորության վրա	6-33
		Մուշանլյան, Ա. Ա. Արիստակնոլան։ Հորիդոնական դասավորության գրա	0
		թրիկնաային մամլիլի տարիլի ոլորող մոմենտը	2 - 45
J.		Պետոսյան։ Միկրոնարերի ահառւթյան կիրառումը մարմեի պաւթեցմամբ	
		արայրալումը հախորդող արոցեսների մեկնաբանելու կամար	6-43
D I	2.	Pashlijub: Platenmap wijnadarfich heng ludubwopgh ajapduh hazmarfijub	
		happandapanda	6-25
		ԴՐԱԽՈՍՈՒՅՈՒՆ,	
		Ոսֆառով, Մ. Ս. Պետոոսյան։ Գ. Գ. Սվանինե։ Հիդրոլոգիական չարթերի ժա-	6 411
		Philamphalian degliadepoids	6-44

содержание

XXXII тома журнала «Піле.тин АП АрмССР (серия технических паук)»

MARIBHOCTPORTURE

P E	В Амбарциялиц Проектиральные пили шенкого публаго-рычажного темера-	
	таря лаух функций	8-3
A. 1	Гидикин, В. И. Андресо. Иссагдование минамики процесса фри верования	
	копцеными фрезами	2-19
P. 17	Джаважие Об одном семействе четырехшарнирных механизмон	2 1.1
P 11	1. Дживахня Корреляционный мезод анализа и синтеза сияметричных двух-	
	криношинных механизмаа	J- 1
M. 2	А Есиян, Г. С. Миртиросян, А. В. Хенумян, С. Г. Оганегии О некоторых	
	особенностях решения паличи устойчивости динамический спитемы фре-	
	терных стинхов.	1 3
T. E	В Кошкирян, в 1 Шекин Влияние полигармонических колебаний ил ра-	
	боту резьборых соединений	1-11
P. 6	2 Мартиросян Распределение удельных давлений на разгруженных на-	
	правляющих	5-3
K1	1. Миджоям. Уранисние траектории динжения рабочей смеси при образив-	
	по-планстирнен обработке	223
ar a	И Члоли Определение силовых параметров при прошваке гильа на двух-	
11.11.11	валковом стане попере но-вынасовой прокаты	2-3
H F	В Оледицк, М. Г. Стакии, С. 1. Гаспарии Расчетная оценка пыносливости	
	чалов при нягружении шилли еским клибом и статическим кручением	1- 3
II z	В. О гейник М. Г. Стикян. Накопление устаностного повреждения в связи	1 0
11. 1	с концентрушнен изпражений и вероятиестые неразрушения	3—11
17 1	В. Орлов. Г. Р. Соготеляя Распреление выплитуды ультразнуковых ко-	3-11
11 1	лебаний на рабочен поверхности притирочного диска	5-11
^ T		311
Lie Z	. Хачатрян Об устопины, ти динжения затимобиля на шданном интервале	2- 9
	премени с учетом боковой упругости шин	2- 0
	WETLE CORP TRIBLE	
	металловенение	
	1 1 1 1 1 1 1 1 1 1 1 1 1 1 1 1 1 1 1	
die d	1. Ахимримов, Н. 1. Золотухив. Металлографическое исследование иленок	2 21
	питрида титьна, напыленных на быстрорежущие пластины Р6М5	3-31
A I	Баздося, Б. П. Минаски Песледование приникания тонкого твердого тела	0 111
-du	H MC18AAH	3—19
G C	. Кипирисоп, 🚠 П. Панкевич, Л. А. Гаспарчи. Вляяние высокой темпера-	
	туры на пруктуру и женачаташининую стойкост насктролноги мате-	
	ривля Ж + 2 , 1 О	3 26
	строительная механика	
B	1. Амбарцумия. Об идном методе определении пастот и фирм свибидимх.	
	полинейныя полеблини варкасных зданий	5-18
C. t.	Парбинин, А. Е. Сиргеян. К резлиту спорумений на сейсмостийсть с	

		учетом упруго-пластических деформаций и податичности слоистого основания.	416
J_{\parallel}	Γ.	Петросян, С. Г. Рубонович Свободные колебания системы «гибкая ап-	
ā.	0.	ки-жесткоя балка». Синки, Ю. Х. Газарян. Методика расчета многоэтажных завинй с ядра-	4 22
		ми жесткости и демиферными устройствами на горизовтальные дини- мические воздействия	6— 8
		ЭНЕРГЕТИКА	
<i>C.</i>	Γ	Акопян, Л. А. Хэмалян, Математическая модель заличи оптимизации	
		параметров сложных гозотранспортных систем на аналогонифромом вычислительном комплексе	1- 9
P.	Α.	Амирикан, И. И. Шарибханан Об одном алгоризме расчета устажные- шегося режима энергосистем, входящих в энергообъединение.	1-16
/1.	.1	Аругюнян. Песледования, связянные с непользованием гибрилной матри-	
		цы в расчетах установищинхся режимон электрических систем -	1 24
		ЭЛЕКІРОТЕХНИКА	
H.	E	Азирян, К определению температуры и расположения илиболее нагретой точки в многослойных цилиидрических обмотках масляных транс-	
D	01	форматоров	429
D.	7.	Алексиндрин, Метод определения устоичивости пилукторного генератора, как объекта управления	1-33
		вычислительная техника	
Κ.	Γ_{\parallel}	Абрамян, А. Г. Карапетян, А. К. Яеджан, Об озной залаче покрытия	2-40
Γ.	Д	расписания доижения самолетов	2-40
17		раметров магистрального газопровода	5—38
		ристик по неравноотетояным отсчетам кривой переходного примесси .	6-22
F-	C.	Ордуян, Л. О. Жимгарян. Совместность вычислительных мянини серин «Урал» и ЕС ЭВМ по вводу	147
Α.	H	Свгоян. Структура систем антоматизации производства	3-36
		измерительная техника	
		Варданян. Дифференциальные торопляме резонаторные датчики давления	5 - 25
		Гаспарян, Г. Г. Есиазарян. О динамической гочности многосиваных следящих систем	1 —38
Э.	€.	Спакия Виброплолиция электродингателя движущего механияма и электропроигрывающих устроистиях пысшего класса	5-33
C	7_	Саркисян, В. И. Нерсесян, Д. О. Мелкумян Проектирование системы ста- билизации илатформы задающего улла двухзеркальной антенны	3-41
			1-4
		ТЕПЛОТЕХИНКА	
1	<i>C.</i> .	Мелик-Алавердин, В. А. Терян, Л. Б. Тер Казарон. Выбор типоразмеров нешы гательных камер на тепличетобривость	1 55
		A STATE OF COLUMN BY A STATE OF THE STATE OF	

ГИДРАВЛИКА

	- 7
 Р. Е. Акопян, С. Н. Манукян. Пепользование статистических тестов для определены коэффициента трения при иневмотранспорте и плотном слое. Р. Е. Акопян, Я. А. Алмасян, С. М. Манукян. Определение необходимого ко- 	3—54
личества в элдуха при проектировании писимотранспорти со ступенча- тым изменением диаметра трубопровода .	438
Р. М. Мирлиханян, Р. Е. Аколян, О расходе поздуха при пневмотранспорте сыпучих материалов в плотном слое	1-62
ГИДРОТЕХИИКА	
С. А. Ананян Массопереное фильтрационным потоком на фоне работы горизонтального дренажа	227
С. А Анинин. Некоторые вопросы динамики динжения риствора солей фильтрационным потоком в грунтах	
Э. А. Хачатрян Расчет линейного водозибора в четырехслойной фильтрационной среде.	2-34
научные заметки	
А С. Авакимов. Ранжировка узлов сети при компенсании реактивной мощно- сти нагрузок.	5-44
 С. Аветисии, Э. М. Агаларии. Об сеобенностях расчета стеклопляетбетонных элементов по деформациям. 	1-41
 Р. Е. Акоиян. Я. 4. Алмасяя. С. И. Манукан. Влияние расхода транспорти- рующего воздуха на дальность перемещения аэросмеся. Г. В. Басласарян, 1. М. Арзуманян. Определение оптимальных параметров. 	6-38
прерывнотого резания цветных металлов	453
чистовом точении . Г. Н. Лен. Р. Е. Епремян. К термогазодинамическому расчету проточной части	5-48
ентробежного компрессора для сжатия резльного газа. М. Дилонян, Г. к. Астабатцян, Алгоритм иля распета оптимального управ-	
ления сернесиыми двигателями электромобиля	
аля испытання ил усталость	
эксцентричности расположения груза	360
мачтовых подъемников	
долого автомобиля	
но расположенного кольневого брикетного пресса	
	70
ьепензия	
Е. Л. Сафаров, М. С. Петросян. Сванидзе Г. Г. Математическое моделирование	

Е. Л. Сафаров, М. С. Петросян Сванилае Г. Г. Математическое моделирование гидрологических рялов Л., Гидрометеонолог, 1977, 296 г. 6—48

B # 4 # 5 9 # 4 # 5 # 3 # 5 5

นายกรายการเราะกรายการ

	Վ Հասկրությունը կալ ատա վոր տորի հախադժումը	31
	ուծարական Մնեսերա	
	B. Սահակյան, Snr. հ. Ղազաշյան հոչտության միջուկով և մարի։ «արդձրով րարձրա- Տարկ շներերի Հաշվարկը Տորիզոնական	8
	_PARUS DIPPINIT	
	Ա. Անանյան Գրուհաներում ազալուծույβների ֆի.արցիա Հասրով չարժման դի- նաժիկայի որոշ Տարցեր	13
	ՀԱՇՎՈՂԱԿԱՆ ՏՈԽՆԻՈԼ	
٠.	II. Մելքոնյան, II. Ա. Ղազաւյան։ — կորի ահմավասարապատ մաջ- վուժենրով մասախական բնավապրերի մաջվարկման Օվային ժեթոդ	28
	SPSHARD PUBLIC	
	Զ Քոլինյան։ Բեռնատար սվատժոբելը կրող — հայ դե ոլորման կոլաության կար- դավորումը	28
D	11. Ինտեկյան։ Հոգևաժային փորհարկումների և ժար տեղոնանույին ժերձևաների	
ŀ,	որհեմաների և պարամետրերի սպաիմայ բևարությունը։ հ. Հակոբյան, Ճ. Հ. Ալմասյան, Ս. Ն. Մանուկյան Տնգափոխող օգի ձախաի ազդե-	32
۲,	ցությունը օգային խառևուրգների փոխագրվան հեռավորության վրա Ի Պետրոսյան։ Միկրոմարերի տետւթյան նիրատումը մարժեր պայթերմամբ բալ-	J 8
	րայումը հախորդող պրորհահերը մեկնարանելու քար	43
	2. Umpured, U. U. Akmenujuh 7. Ud bhat "hanninghuhub gupphen dufth-	.68

СОДЕРЖАНИЕ

МАШИНОСТРОЕНИЕ

P.	В. Амбарцумянц. Проектирование патизневного зубчато-ры тажного генератора двух функций,	,
	СТРОПТЕЛЬНАЯ МЕХАНИКА	
A.	О. Саакян, Ю. Х. Газарян. Методика расчета многоэтажных зданий с ядрами жесткости и демиферными устройствами на горизонтальные динамические воздействия	3
	гидротехника	
C.	А. Ананян. Пекоторые вопросы динамики цвижения раствора солей фильтрационным потоком в груптах	15
	вычислительная техника	
Д.	С. Мелконян, А. А. Газарян. Численный метод расчеда частотных характеристик по исравноотстоящим отечетам кривон переходного процесси	22
	научные заметки	
r.	Дж. Кочинян. Регулирова не крутильной жесткости несущей системы грузового антомобиля.	28
Э.	А. Инпекли. Оптимальный выбор схем и параметров резонаненых машин для испытания на усталость	32
Ρ.	Е. Аконян, Я. А. Алмасян, С. Н. Минукан, Влияние расхода транспортирующего возлуха на дальность перемещения аэросмесн	38
М.	И. Петросии. Приложение теории микротрещии в интерпретания процессов,	43
	предместнующих варывному разрушению тела	48

